

Campo di CALPURNIA

Aggiornamento al 31/12/19

Il campo di Calpurnia è ubicato nell'offshore Adriatico circa 55 km a NE di Ancona, a una profondità d'acqua di circa 72 m, nella concessione B.C22.AG evidenziata in Figura 1.

CONCESSIONE	SCADENZA	OPERATORE	TITOLARI	QUOTA	REGIONE
B.C22.AG	31/03/2018	Eni	Eni	100%	Marche

Il giacimento è costituito da una blanda anticlinale con asse principale orientato NW-SE e si estende per circa 7 km². La serie mineralizzata è compresa tra 570 m e 1015 m e interessa due diverse formazioni Pleistoceniche: F.ne Ravenna e F.ne Carola (Figura 2).

Il campo è stato scoperto nel 1983 con la perforazione del pozzo Calpurnia 1; per delimitare la struttura sono stati perforati, in seguito, altri 2 pozzi, Calpurnia 2 nel 1984 e Calpurnia 3 nel 1994. Nel giugno 1998 è stata presentata da Eni una domanda di pronuncia di compatibilità ambientale concernente la realizzazione della piattaforma di Calpurnia con la perforazione di 5 pozzi e la posa del relativo *sealine* di collegamento. Nel documento SIA si riportava un profilo di produzione ottenuto dagli studi statico e dinamico di giacimento del maggio 1998. Tale profilo prevedeva riserve a vita intera pari a 1980 MSm³, producibili in 16 anni con un picco di produzione giornaliera di 1000 kSm³/g. Per lo studio di subsidenza, riportato nel SIA, è stato utilizzato un modello geomeccanico del tipo Geerstma cilindrico e un profilo di produzione ottenuto con un modello *Eclipse* del febbraio 1996 che prevedeva invece il recupero di 1536 MSm³ di gas in 9 anni. Detto modello geomeccanico stimava dopo 9 anni dall'inizio della produzione un valore massimo di subsidenza pari a 8 cm (in corrispondenza del culmine del giacimento); alla stessa data il cono di subsidenza (linea d'iso-subsidenza di 2 cm) risultava estendersi per circa 2.5 km verso la costa.

Per tale previsione erano stati utilizzati i parametri geomeccanici che, con le informazioni disponibili a tale data, venivano considerati come più rappresentativi del comportamento della roccia serbatoio, in particolare:

- compressibilità uniassiale $C_m = 1.00 \cdot 10^{-4} \text{ bar}^{-1}$
- coefficiente di Poisson $\nu = 0.33$.

 Eni spa	Campo di CALPURNIA ottobre 2020	Documento GEODCS_REL2020_CALP	Page - 2 - of 59
--	------------------------------------	----------------------------------	------------------

In seguito al Decreto VIA n° 4170 del 15/11/99 che approvava il programma lavori presentato, nel 1999 si è sviluppato il campo perforando cinque nuovi pozzi (Calpurnia 4, 5, 6, 7 e 8) da una piattaforma di tipo BEAF. La produzione è stata poi avviata nell'ottobre del 2000 con una portata iniziale di circa 1400 kSm³/g.

Nel maggio 2007 è stata fatta una revisione degli studi di giacimento (statico e dinamico) dei campi del *Clara Complex* (Clara Est, Clara Nord, Calpurnia) e di Calipso per valutare anche possibili fenomeni d'interferenza idraulica e meccanica fra detti campi.

A tale proposito si è proceduto a:

1. costruire un unico modello statico di giacimento per i 4 campi dell'area; modello che è stato esteso anche agli acquiferi idraulicamente connessi ai livelli produttivi;
2. simulare il comportamento dinamico di tali campi con un unico modello *Eclipse* sia per calibrarne il modello statico, sia per tener conto di possibili interferenze dinamiche fra loro. Per la calibrazione si sono utilizzate le informazioni acquisite durante lo sviluppo e tutta la loro storia produttiva (aggiornata al 31/12/06).

Nel caso di Calpurnia (rel. *Eni-INPE n° 066b-07 del maggio 2007*) tale revisione ha portato a un aumento del 32% del GOIP totale rispetto al volume inizialmente stimato (*GOIP studio statico dell'ottobre 1998 pari a 3710 MSm³, GOIP revisione studio statico del maggio 2007 pari a 4900 MSm³*). Il nuovo profilo di produzione ha previsto, inoltre, un aumento delle riserve producibili a vita intera del 13% (i.e. 2231 MSm³ al 2016) rispetto alla stima iniziale del maggio 1998. Tale incremento delle riserve è risultato però inferiore a quello calcolato per il GOIP per la presenza di un acquifero attivo in alcuni livelli delle formazioni PLQ2 e PLQ1 con conseguente previsione di una chiusura anticipata di alcune *string* completate negli stessi. Per ottimizzare il recupero delle riserve restanti, nel 2010 è stata fatta un'altra revisione dello studio statico e dinamico di giacimento (rel. *Eni-INPE n° 16-10 del maggio 2010*) che ha individuato nei *side-track* dei pozzi Calpurnia 4 e Calpurnia 5 gli interventi necessari a tale scopo. La nuova valutazione del GOIP è stata pari a 4164 MSm³, con una riduzione, quindi, del 15% rispetto a quanto stimato in precedenza (*GOIP del maggio 2007 pari a 4900 MSm³*). Le riserve producibili a vita intera dal campo sono però aumentate del 6% poiché il nuovo profilo di produzione ha previsto di recuperare 2382 MSm³ entro il 2016 per effetto degli interventi proposti sui pozzi Calpurnia 4 e Calpurnia 5.

 Eni spa	Campo di CALPURNIA ottobre 2020	Documento GEODCS_REL2020_CALP	Page - 3 - of 59
--	------------------------------------	----------------------------------	------------------

Tali interventi sono stati eseguiti nel mese di gennaio 2011 con la perforazione dei pozzi side track Calpurnia 4 dirA e Calpurnia 5 dirA che sono entrati in produzione tra febbraio e marzo 2011. La revisione dello studio di giacimento fatta nel marzo 2013 (rel. *Eni-GISE n°04/2013 del 06/03/2013*) allo scopo di aggiornare il modello geomeccanico dei campi del *Clara Complex* e del campo di Calipso, ha sostanzialmente confermato i valori del GOIP e delle riserve stimate con lo studio del maggio 2010: le riserve producibili a vita intera dal campo al 2020 sono risultate, pertanto, pari a 2382 MSm³.

Nel 2015 si sono rivalutate nuovamente le riserve del campo che sono state stimate in 2287 MSm³ producibili al 2017 (rel. *GISE-05/15_campo di Calpurnia–studio di giacimento, maggio 2015*). Si deve, però, osservare che tale volume era di fatto già stato prodotto a fine 2015, per cui nel 2017 è stato realizzato un nuovo studio integrato (geologico, dinamico e geomeccanico) per i campi del *Clara Complex* (Clara Nord, Clara Est e Clara NW, Calpurnia), di Calipso e di Elettra. Sulla base dei risultati degli studi (statico e dinamico) di giacimento fatti nel corso delle varie revisioni sopra descritte, di volta in volta si sono aggiornate le previsioni di subsidenza del campo di Calpurnia e degli altri campi dell'area. A tale proposito si ricorda che nel 2007 è stato realizzato un unico modello geomeccanico a elementi finiti (FEM - Isamgeo) dei campi del *Clara Complex* e del campo di Calipso (rel. *Eni-INPE n° 074-07 del maggio 2007*).

Le simulazioni effettuate con tale modello avevano portato alle seguenti conclusioni:

1. per il campo di Calpurnia il valore di subsidenza massima era risultato pari a 53 cm al 2011. L'incremento di subsidenza massima rispetto a quanto riportato nel SIA del 1998 era da imputarsi principalmente ai seguenti fattori:
 - differenza nei valori dei coefficienti di compressibilità C_m utilizzati per il calcolo, in particolare per il livello PLQ2,
 - aumento dei gross pay considerati,
 - migliore modellazione dell'acquifero circostante;
2. l'estensione verso la costa del cono di subsidenza relativo ai 4 campi (*Clara Complex* e Calipso) era risultata sempre d'entità modesta (max. 6 km in corrispondenza di Clara Est) per la presenza di un limite deposizionale dei livelli mineralizzati situato a SW dei campi di Calipso e Clara Est di cui si dirà con più dettaglio in seguito. La distanza minima tra la costa e la linea d'iso-subsidenza di 2 cm era risultata, pertanto, pari a 32 km.

 Eni spa	Campo di CALPURNIA ottobre 2020	Documento GEODCS_REL2020_CALP	Page - 4 - of 59
--	------------------------------------	----------------------------------	------------------

Nel corso del 2010, nell'ambito della documentazione tecnica (SIA) preparata per l'istanza concernente il progetto di sviluppo della vicina struttura di Elettra, si è aggiornato il modello geomeccanico di tutta l'area al fine di prevedere l'eventuale subsidenza indotta dalla coltivazione dell'insieme dei campi in essa compresi (*Clara Complex*, Calipso ed Elettra). Tale previsione è stata fatta con il modello FEM Isamgeo relativamente a tre diversi scenari di compressibilità (rel. *Eni-Tera: Campi del Clara Complex, Calipso ed Elettra - Modello Elasto-Plastico di Subsidenza-Management Summary - agosto 2010*).

Le simulazioni con modello sono state protrate fino al 2054 per tener conto degli effetti dell'evoluzione della pressione nelle zone mineralizzate e in acquifero dopo la fine della produzione. Per lo scenario di riferimento (C_{m_Med}), ritenuto il più probabile, la subsidenza massima prevista per Calpurnia è stata stimata in 43 cm al 2008 e a 42 cm al 2010, fino a ridursi ulteriormente a un valore di circa 38 cm alla fine della simulazione. Per quanto riguarda la distanza dalla costa della curva d'iso-subsidenza di 2 cm, corrispondente alla massima estensione del cono di subsidenza relativo ai 5 campi, questa è risultata essere di circa 32 km.

Un ulteriore aggiornamento/taratura del modello geomeccanico del 2010 è stato fatto nel dicembre 2011, previa revisione del modello di giacimento 3D *Eclipse* dei campi dell'area (*Clara Complex*, Calipso ed Elettra). Quest'ultima revisione si è resa necessaria per tener conto sia del nuovo progetto di sviluppo "Clara NW" che ipotizzava la perforazione di 4 nuovi pozzi in corrispondenza di una culminazione secondaria (NW) di Clara Est, sia dei nuovi dati disponibili a seguito della campagna di *work-over* del 2011 sui pozzi dei campi di Calpurnia e di Clara Nord. Nel caso di Calpurnia il nuovo studio di giacimento non ha portato a sostanziali variazioni per il GOIP e per le riserve rispetto alla valutazione fatta al dicembre 2010. Con questi nuovi studi di giacimento (statici, dinamici e geomeccanici) si sono voluti valutare gli effetti di eventuali interazioni di tipo idraulico e/o meccanico fra campi del *Clara Complex*, di Calipso ed Elettra (rel. *Eni-Tera: Campi del Clara Complex, Calipso ed Elettra - Modello Elasto-Plastico di Subsidenza-Management Summary - dicembre 2011*). Nel corso delle simulazioni con modello geomeccanico si sono considerati 3 possibili scenari per il valore del coefficiente di compressibilità (C_m), che a loro volta hanno generato altrettanti scenari previsionali di subsidenza i cui risultati oscillano nell'intorno di un valore medio all'interno di una banda di confidenza.

 Eni spa	Campo di CALPURNIA ottobre 2020	Documento GEODCS_REL2020_CALP	Page - 5 - of 59
--	------------------------------------	----------------------------------	------------------

Nel caso ritenuto più probabile (C_{m_Med}) la subsidenza massima per il campo di Calpurnia è stata stimata pari a 61 cm al 2017. Per lo scenario (C_{m_Upper}) più pessimistico e per tutti gli scenari considerati nello studio, la linea d'iso-subsidenza di 2 cm si mantiene sempre a una distanza dalla costa superiore ai 32 km. Nel 2013 è stato nuovamente aggiornato il modello dinamico di giacimento dei campi dell'area (rel. *Eni-GISE n.11/2013: Clara Complex – campi: Calipso-Calpurnia-Clara Est-Clara Nord-Elettra. Aggiornamento del modello di giacimento per modello geomeccanico. Scheda Riassuntiva aprile 2013*) a supporto del nuovo progetto di sviluppo “Clara SE”, che prevede l'installazione di una nuova piattaforma di produzione e la perforazione di due nuovi pozzi (Clara Est 14D e Clara Est 15D). Anche in quest'ultimo caso l'aggiornamento è stato fatto tenendo conto delle possibili interazioni di natura idraulica e meccanica fra i campi stessi.

Un nuovo modello geomeccanico 3D a elementi finiti (rel. *Eni-Tera: Campi del Clara Complex, (con il nuovo sviluppo “Clara Sud-Est”), Calipso ed Elettra – Modello Elasto-Plastico di Subsidenza-Management Summary – settembre 2013*) è stato poi finalizzato per valutare l'entità della subsidenza e l'estensione del relativo cono indotti dalla produzione complessiva dei campi sopraccitati. Ancora una volta le simulazioni fatte hanno preso in esame tre diversi scenari di compressibilità. Nel caso ritenuto più probabile (scenario di compressibilità C_{m_Med}), la subsidenza massima prevista per tutta l'area in esame si verifica in corrispondenza del campo di Clara Nord ed è pari a circa 68 cm al 2021; tale valore si riduce a circa 62 cm alla fine della simulazione. Per quanto riguarda il campo di Calpurnia, la subsidenza massima (nel caso C_{m_Med}) è risulta pari a 54 cm al 2021. Lo studio è stato, poi, protratto fino al 2065 (fine simulazione) in modo da considerare l'effetto dell'evoluzione della pressione nelle regioni mineralizzate e in acquifero dopo la fine della produzione.

Anche in questo nuovo aggiornamento del modello geomeccanico la linea di iso-subsidenza dei 2 cm si è mantenuta per tutti gli scenari considerati a una distanza dalla costa sempre superiore a 32 km. Nel 2017 è stato eseguito un nuovo studio integrato per un nuovo modello (statico e dinamico) dei giacimenti dell'area del Clara Complex, Calipso ed Elettra (*Eni-GISE 24/2017 Clara Complex – Scheda integrativa all'aggiornamento dello studio di giacimento per geomeccanica - Scheda riassuntiva –dicembre 2017*) che aggiorna le riserve di Calpurnia a 2316 MSm³ producibili al 2022.

 Eni spa	Campo di CALPURNIA ottobre 2020	Documento GEODCS_REL2020_CALP	Page - 6 - of 59
--	------------------------------------	----------------------------------	------------------

In Figura 3 è riportato l'andamento storico della produzione di gas del campo (kSm³/g), e di acqua (m³/g). In Figura 4, Figura 5 e Figura 6 è riportato, invece, il confronto tra la produzione reale annuale e cumulativa e quella prevista dal modello Eclipse 2017.

Al 31/12/2019 la produzione cumulativa del campo è pari a 2298 Mm³.

Nella Figura 7 è presentato il confronto del profilo di pressione calcolato dal modello *Eclipse* del 2017 con le pressioni statiche misurate in un livello rappresentativo del campo (livello PLQ1-C). Si evidenzia un buon accordo tra le pressioni misurate e quelle simulate.

A seguito del nuovo modello di giacimento si è aggiornato anche il modello geomeccanico (rel. *Eni-EORG 07/2017: Campi del Clara Complex, Calipso ed Elettra - Modello Elasto-Plastico di Subsidenza-Management Summary - dicembre 2017*).

Per le simulazioni del modello geomeccanico si sono considerati 3 diversi scenari di produzione:

- **DO NOTHING:** prevede di proseguire lo sviluppo del giacimento mediante i completamenti aperti a fine *history match* (dicembre 2017), senza ulteriori interventi;
- **CLPS5:** considera lo sviluppo del campo di Calipso con un nuovo pozzo (Calipso 5 dal 01/09/2019);
- **CLPS6:** sviluppo *full field* che prevede due pozzi su Calipso (Calipso 5 dal 01/09/2019 e Calipso 6 dal 01/11/2019) e lo sviluppo del giacimento di Clara Est con due pozzi (Clara Est 14 dir e Clara Est 15 dir) in produzione dal 01/02/2021.

I risultati del nuovo studio, per il campo di Calpurnia, mostrano per tutti e tre gli scenari di *forecast* un valore di subsidenza massimo di 14 cm al 2015 (Figura 8), in leggero *rebound* alla fine della simulazione (2061). Per tutti gli scenari considerati nello studio, inoltre, la massima estensione della subsidenza prevista - corrispondente alla curva di iso-subsidenza dei 2 cm - si mantiene a oltre 29 km dalla costa e dalla città di Ancona, per l'intera durata della simulazione di tutti gli scenari di produzione considerati (Figura 8). La Tabella1 riporta per i cinque campi e per i 3 scenari di *forecast* considerati, i valori massimi di subsidenza ottenuti e le date alle quali si conseguono.

Tabella 1– Valori massimi previsti di subsidenza alle date sottoindicate

	Clara Nord	Calpurnia	Elettra	Clara Est	Clara NW	Calipso
DN	34 cm (2016)	14 cm (2015)	11 cm (2061)	69 cm (2061)	81 cm (2038)	57 cm (2022)
CLPS5	34 cm (2016)	14 cm (2015)	11 cm (2061)	69 cm (2061)	81 cm (2038)	84 cm (2026)
CLPS6	34 cm (2016)	14 cm (2015)	11 cm (2061)	129 cm (2037)	97 cm (2061)	85 cm (2026)

Il fatto che tutti gli studi geomeccanici sino ad ora eseguiti per valutare i possibili effetti d'interferenza idraulica e meccanica fra i vari campi considerati concordino nel prevedere che il fenomeno della subsidenza si esaurisca a grande distanza dalla costa (circa 29 km), ha una spiegazione nel particolare assetto geologico dell'area stessa, come del resto già accennato in precedenza. Tale assetto, rappresentato nello *sketch* stratigrafico-strutturale di Figura 9 e basato su un'interpretazione sismica controllata con dati di pozzo, definisce uno schema di rapporti verticali e laterali tra le formazioni che costituiscono i giacimenti (reservoir e copertura) e il substrato che limitano l'estensione del fenomeno subsidenziale verso costa. Infatti, lungo la direttrice esaminata (WSW-ENE) in direzione della costa, i livelli mineralizzati si chiudono per limite deposizionale in onlap sui livelli argillosi della F.ne Santerno che rappresenta un'importante barriera idraulica verso costa. Il substrato dell'offshore anconetano presenta, inoltre, una successione carbonatica pre-pliocenica posta talora a poche centinaia di metri di profondità – (pozzo Brezza 1) che localmente affiora sulla costa (promontorio M.te Conero) in corrispondenza di alti strutturali appenninici, mentre la successione terrigena di copertura è relativa a intervalli stratigrafici differenti dalle zone reservoir del *Clara Complex* e campi limitrofi. Tutto ciò limita sensibilmente la possibilità che si possa verificare una depressurizzazione e conseguente compattazione dei sedimenti sulla costa e nelle fasce antistanti al litorale.

E', pertanto, del tutto comprensibile che

- sia per la presenza di tale barriera idraulica di tipo sedimentologico-strutturale interposta tra il complesso dei giacimenti in esame e la costa,
 - sia per l'elevata distanza dei giacimenti stessi dalla costa (ad es. 35 km per Calipso),
- in tutte le previsioni il fenomeno di subsidenza si esaurisca rapidamente in direzione della costa e, quindi, la distanza del cono di subsidenza dalla costa stessa risulti elevata (almeno

 Eni spa	Campo di CALPURNIA ottobre 2020	Documento GEODCS_REL2020_CALP	Page - 8 - of 59
--	------------------------------------	----------------------------------	------------------

29 km). Tra la fine del 2007 e l'inizio del 2008 è stato eseguito un rilievo batimetrico multi-beam di un'area (superficie 1662 km²) comprendente i campi del *Clara Complex*, di Calipso ed Elettra. Pur in presenza di un andamento irregolare del fondale marino, tale rilievo ha consentito di evidenziare per Calpurnia una zona di disturbo arealmente limitata e coincidente, approssimativamente, con la zona di culmine del giacimento.

Tale disturbo raggiunge circa 35 cm sul fondale (Figura 10 - rel. Eni - *Università di Urbino dell'agosto 2008 trasmessa a MATTM in data 11/11/08- prot. UGIT ET/mv 1410*), valore che può considerarsi riprodotto in modo soddisfacente dal modello di subsidenza del 2017 (circa 12 cm al 2008), considerando le incertezze insite nel metodo di misura batimetrico. Un nuovo rilievo batimetrico, da confrontarsi con quello base del 2008 è in corso di programmazione.

A partire dai primi anni '70, Eni ha progettato e realizzato lungo la costa adriatica una rete di livellazione geometrica che, su richiesta degli Enti di Controllo a livello regionale e nazionale (Regione Emilia-Romagna, Provincia di Ravenna, Comune di Ravenna e Ministero dell' Ambiente), è rilevata con cadenza periodica. A partire dalla campagna 2011, dopo un intervallo di un anno nel 2010 (anno in cui non sono state fatte livellazioni), tale periodicità ha una cadenza triennale come raccomandato nelle "*Linee Guida per lo Studio dei Fenomeni di Subsidenza nell'Ambito dei Progetti di Sviluppo Sostenibile di Campi ad Olio e Gas*" emesse dal Dip. DMMMSA dell'Università di Padova nel 2007.

Le specifiche tecniche adottate sono quelle ora in uso per i rilievi della rete Eni e rispettano le indicazioni contenute nelle già citate linee guida emesse dall'Università di Padova.

Eni, inoltre, ha affidato la certificazione della documentazione e della metodologia utilizzata a un ente esterno, che attualmente è il Dipartimento DICAM dell'Università di Bologna.

La rete di livellazione, rilevata nel 2017 (ultimo rilievo fatto) è stata ampliata con l'aggiunta di uno sbraccio esteso all'area del campo di Agosta.

Tale rete è suddivisa nelle seguenti aree di attività:

- dorsale Adriatica, da Treviso fino a Pesaro, compreso lo sviluppo degli sbracci sul delta del Po, per un totale di circa 1200 km di sviluppo lineare;
- tratto da Pesaro a P.to San Giorgio, per un totale di circa 210 km di sviluppo lineare;
- tratto Marche-Abruzzo, da P.to San Giorgio a Pescara, per un totale di circa 220 km di sviluppo lineare.

 Eni spa	Campo di CALPURNIA ottobre 2020	Documento GEODCS_REL2020_CALP	Page - 9 - of 59
--	------------------------------------	----------------------------------	------------------

Le operazioni di campagna si sono svolte nel periodo compreso tra agosto e ottobre 2017 sotto la diretta supervisione di tecnici Eni e degli esperti dell'ente certificatore.

Si ritiene opportuno sottolineare, inoltre, che, sebbene vi siano punti di contatto tra i vari tratti di livellazione afferenti alla rete Eni, allo stato attuale non è possibile utilizzare in modo congiunto i valori di quota ottenuti sulle singole reti, a causa della disomogeneità tra i capisaldi origine delle tre reti di livellazione. Per ovviare a tale situazione, determinata da fattori ambientali (grandi distanze), su suggerimento dell'ente certificatore è stata realizzata una linea di stazioni permanenti CGPS disposte a distanze regolari tra Pineto e P.to Sant'Elpidio che, con il consolidamento dei dati CGPS, costituiranno una serie di capisaldi origine omogenei, tali da consentire d'ottenere misure di quota fra loro consistenti da Treviso a Pescara.

Nel tratto di costa da Pesaro a P.to San Giorgio, antistante alla piattaforma di Calpurnia, con l'acquisizione della campagna 2017 sono in totale disponibili 7 campagne di livellazione fatte negli anni 2006, 2007, 2008, 2009, 2011, 2014 e 2017.

In Figura A viene rappresentato l'andamento altimetrico lungo la tratta Pesaro – P.to Sant'Elpidio durante il periodo 2006-2017.

Nei prossimi anni, con nuove campagne di misura (il prossimo rilievo è previsto nel 2020) e con il consolidamento dei dati CGPS e dei rilievi SAR, sarà possibile fare interpretazioni più puntuali dei dati di livellazione anche per il tratto a sud di Pesaro.

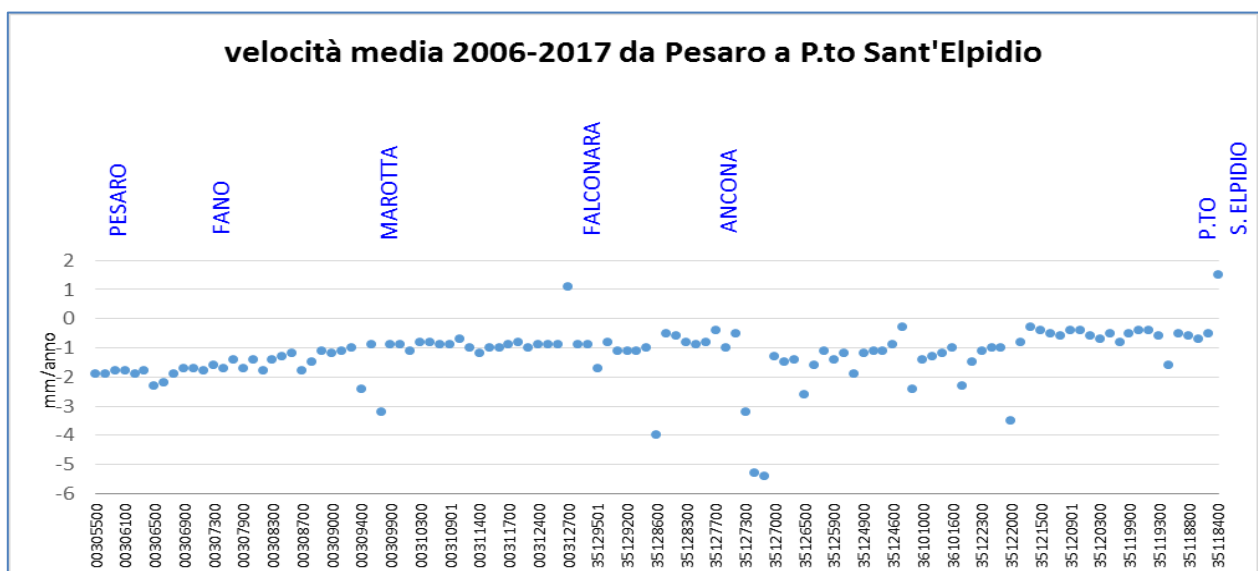
Si deve notare, inoltre, che i dati di livellazione, misurati sul singolo caposaldo, non sono di solito sufficienti per caratterizzare la distribuzione areale della subsidenza. Tali misure, infatti, possono essere talvolta alterate da "disturbi" accidentali intervenuti nel tempo sui manufatti su cui i capisaldi stessi sono stati materializzati.

Al fine d'ottenere una rappresentazione areale della subsidenza o della velocità media di subsidenza di una certa area è necessario avere, quindi, misure di livellazione di più capisaldi, per la cui interpretazione può convenire poi una suddivisione in opportune classi di valori, come di seguito specificato.

A questo proposito si sono stimate con regressione lineare le velocità medie annue d'abbassamento del suolo V_a^1 dei singoli capisaldi della tratta Pesaro - P.to Sant'Elpidio, raggruppandole poi nelle seguenti 5 classi:

- classe 4: include i capisaldi con $V_a \geq 10$ mm/a;
- classe 3: include i capisaldi con $5 \leq V_a < 10$ mm/a;
- classe 2, include i capisaldi con $3 \leq V_a < 5$ mm/a;
- classe 1: include i capisaldi con $0 \leq V_a < 3$ mm/a;
- classe 0: include i capisaldi con $V_a < 0$ (sollevamento del suolo).

Figura A – Tratta Pesaro - Sant'Elpidio: velocità medie di subsidenza (periodo 2006-2017)



L'elaborazione con questo approccio delle misure di livellazione del periodo 2006-2017 mostra per l'area in esame, pur nell'ambito di un quadro di generale ma leggero abbassamento (Figura A), una marcata stabilità altimetrica a partire da Fano fino a P.to S. Giorgio: si consideri che il 93% dei punti analizzati ricade nella classe 1 con una media pari a 1.6 mm/a.

I capisaldi per i quali si osservano alte velocità d'abbassamento (es. 5.4 mm/a nella zona di Ancona), oppure fenomeni d'innalzamento del suolo (es. nella zona di P.to Sant'Elpidio) sono scarsi di numero e isolati: sono, quindi, poco significativi dal punto di vista areale.

¹ Nel presente rapporto di norma le velocità di subsidenza (i.e. di abbassamento della superficie) sono riportate con valori negativi. Per comodità d'interpretazione, però, nell'elenco che segue, come pure nei due paragrafi successivi, le velocità di subsidenza sono state rappresentate con valori positivi.

 Eni spa	Campo di CALPURNIA ottobre 2020	Documento GEODCS_REL2020_CALP	Page - 11 - of 59
--	------------------------------------	----------------------------------	-------------------

Non si possono escludere fenomeni localizzati dovuti a instabilità dei capisaldi stessi, che saranno comunque oggetto di verifica nelle prossime campagne di misura.

Il confronto tra i dati CGPS delle stazioni ubicate nell'area in esame (Fano, Falconara e P.to San Giorgio) con le misure delle livellazioni mostra andamenti che, fatte salve le diverse precisioni in termini di ripetibilità, sono assolutamente compatibili.

Per completare il monitoraggio altimetrico del tratto di costa antistante alle piattaforme si è proceduto, inoltre, ad aggiornare la copertura SAR (dicembre 2019) per un'analisi areale altimetrica integrata (Appendice A) con i dati forniti dalle stazioni CGPS (Figura 11).

Le attività di monitoraggio sono state progressivamente potenziate mettendo in opera un numero crescente di stazioni CGPS sulle piattaforme offshore operate da Eni. Dal 2007, infatti, ne sono state installate sulle piattaforme di Regina e Calpurnia (giugno 2007), di Anemone B (agosto 2007), di Annalisa (ottobre 2007), di Calipso, Tea-Lavanda-Arnica, Clara Est e Clara Nord (novembre 2007), di Barbara NW (gennaio 2008), di Bonaccia (febbraio 2008), di Annamaria A e Annamaria B (gennaio 2010), di Clara W (ottobre 2010) e di Guendalina (agosto 2011). Le stazioni CGPS di Naide e PCC sono, invece, operative dal luglio 2005, mentre la postazione Naomi-Pandora è attiva dal giugno 2002. In tempi più recenti sono state installate anche le nuove stazioni CGPS di Elettra (luglio 2014), di Fauzia (settembre 2014), di Barbara E (novembre 2014), di Bonaccia NW (settembre 2015), e, infine di Clara NW (marzo 2016). Le serie storiche di misure CGPS acquisite nelle stazioni messe in opera nel periodo 2015 - 2016, sono, però, ancora troppo brevi per consentire valutazioni specifiche. Il sistema di monitoraggio è stato, poi, ulteriormente potenziato con la costruzione lungo la costa, nel tratto prospiciente i campi sopracitati, di 3 nuove stazioni altimetriche *SSU* (*Satellite Survey Unit*) equipaggiate ciascuna con un CGPS, un caposaldo di livellazione geometrica e 2 bersagli radar solidalmente connessi tra loro tramite una trave di cemento armato.

Le 3 stazioni *SSU* sono state realizzate nelle Centrali Eni di Rubicone, di Fano e di Falconara nel dicembre 2007 (Appendice B); negli stessi siti sono stati perforati tra ottobre e dicembre 2008 anche tre pozzi assestometrici per il monitoraggio della compattazione superficiale del terreno. Tali stazioni si sono aggiunte a quelle preesistenti, installate più a Nord lungo la costa ravennate, nelle località di Fiumi Uniti, di Smarlacca e di Spinaroni.

Inoltre, come detto in precedenza, sono state monumentate altre 4 stazioni CGPS in Ortona, Pineto, Grottammare e P.to Sant'Elpidio, il cui completamento è avvenuto nel dicembre 2009, tutte equipaggiate con 2 bersagli radar e con un caposaldo di livellazione.

Allo stato attuale la stazione di Ortona non è, però, più operativa dal 19 aprile 2013 per l'alienazione dell'area. Nel novembre 2016, infine, è stata messa in opera una nuova postazione CGPS a Miglianico (completata con i *corner reflector* nel mese di maggio 2017). Nel corso del 2018, sono state installate due nuove postazioni CGPS, entrambe nella configurazione S.S.U. sulle postazioni di Pomposa (ACPO – installata a settembre 2018) e di Po di Tolle (POTO – installata nel mese di luglio 2018). Una volta acquisita e consolidata una serie storica sufficientemente lunga di misure, tutte le nuove stazioni entreranno a fare parte delle stazioni utilizzate per il monitoraggio della stabilità della costa.

Analogamente a quanto avviene per le livellazioni, anche i dati del monitoraggio CGPS sono validati da un ente esterno. Attualmente questa attività è svolta dall'Università degli Studi di Bologna, facoltà di Fisica – Dipartimento di Fisica e Astronomia DIFAS.

I dati CGPS acquisiti sulla piattaforma Calpurnia, certificati fino al 2017 e in fase di certificazione per gli anni successivi, sono stati elaborati con il software scientifico Bernese dalla ditta e-GEOS. Per rappresentare in grafici plano-altimetrici la serie storica più completa di misure, ovvero quella estesa al 31/12/2019 (Figura 12), si sono utilizzati in questa relazione anche i dati non certificati, vista la generale convergenza di questi ultimi con quelli certificati come mostrato in Tabella 2.

Tabella 2 - Confronto dati CGPS certificati e non certificati aggiornati al 31/12/2017

Stazione	Dati Non Certificati			Dati Certificati			Delta (Non Cert.-Cert.)		
	Vel-N mm/a	Vel-E mm/a	Vel-H mm/a	Vel-N mm/a	Vel-E mm/a	Vel-H mm/a	D-N mm/a	D-E mm/a	D-H mm/a
Calpurnia	17.95	22.29	-1.39	17.78	22.55	-3.04	0.17	-0.26	1.65

A questo proposito è opportuno precisare che l'analisi e l'interpretazione degli andamenti nel tempo delle misure altimetriche CGPS, da utilizzarsi per una verifica/taratura dei modelli previsionali di subsidenza, non possono essere considerate sufficientemente attendibili per dataset relativi a periodi di osservazione inferiori ai 36 mesi, come indicato dall'Ente che certifica

 Eni spa	Campo di CALPURNIA ottobre 2020	Documento GEODCS_REL2020_CALP	Page - 13 - of 59
--	------------------------------------	----------------------------------	-------------------

tali dati con cadenza biennale. L'Ente certificatore, infatti, verifica e valida i dati registrati al fine di poter disporre di un numero sufficiente di osservazioni per il corretto inquadramento delle componenti periodiche, della loro incidenza sulle misure e per poter filtrare il "rumore" che per piccole velocità di subsidenza è dello stesso ordine di grandezza del valore del fenomeno fisico osservato. Serie storiche di durata inferiore ai 36 mesi possono, quindi, essere utilizzate solo per confrontare il trend degli andamenti temporali delle misure altimetriche con quello dei valori calcolati da modello previsionale, qualora si abbia una subsidenza caratterizzata da valori di sufficientemente elevati. In questi casi sarà possibile monitorare solo eventuali anomalie di trend ma non procedere a un confronto diretto dei valori attesi da modello vs. i valori misurati.

In generale:

- dataset < 12mesi: solo *follow up* per monitoraggio dei dati acquisiti;
- dataset di 12÷36 mesi e
 - piccoli valori di subsidenza attesi: analisi tendenziale del fenomeno e monitoraggio delle anomalie verso il *trend* previsionale;
 - grandi valori di subsidenza attesi: analisi tendenziale del fenomeno per calibrazione del modello previsionale;
- dataset > 36 mesi: analisi di *trend* e calibrazione dei modelli geomeccanici confrontando il dato di velocità di subsidenza misurato (depurato dalla velocità di subsidenza naturale) e i valori dei modelli previsionali.

Le elaborazioni sono state fatte con *software* scientifico Bernese, strategia OBS-MAX, utilizzando i prodotti finali (effemeridi precise e file del polo) messi a disposizione dall'IGS (*International GNSS Service*). Come anticipato nella precedente relazione, le elaborazioni dei dati CGPS, sono state effettuate utilizzando il sistema di riferimento ITRF2014 con il software BERNESE 5.2.

Per le nostre elaborazioni il sistema di riferimento è materializzato dalle stazioni appartenenti alla rete EUREF disponibili tra: Bucarest, Genova, Graz, Matera, Medicina, Padova, Penc, Sofia, Torino, Zimmervald. L'eliminazione degli *outlier* delle serie storiche è effettuata mediante test a 3 SIGMA iterativo.

Per il campo di Calpurnia, sulla base di una serie storica di misure CGPS di durata superiore ai 36 mesi, è possibile stimare una velocità media di subsidenza totale² misurata pari a -0.44 mm/a (Figura 12, Figura 14), senza variazioni significative rispetto al valore riportato nella precedente relazione di aggiornamento (-1.02 mm/a al 2018).

Utilizzando un software realizzato dall'Università di Roma La Sapienza (software FEED – Fast Elbow Effect Detector), creato per migliorare le analisi dei dati delle serie storiche GNSS per rilevare variazioni di velocità, nell'ambito della serie storica dei dati CGPS disponibile è, inoltre, possibile individuare alcune variazioni di velocità correlabili con la storia produttiva del campo (Figura 13).

In particolare:

- periodo che va dall'installazione del CGPS a ottobre 2008, in cui la velocità media di subsidenza totale di circa -21.19 mm/a;
- periodo ottobre 2008 - gennaio 2014, in cui la velocità media di subsidenza totale è pari a circa -4.86 mm/a, con una netta diminuzione della velocità di subsidenza;
- periodo da gennaio 2014 a novembre 2019, che presenta, invece, una inversione di tendenza con un risollevarimento (*rebound*) mediamente dell'ordine di 4.13 mm/a.

Le elaborazioni delle nuove serie storiche sono state influenzate sia dal cambio del sistema di riferimento (da ITRF2008Igb08 a ITRF2014) sia dall'utilizzo della nuova release del software scientifico Bernese (da 5.0 a 5.2). Entrambe le condizioni hanno introdotto modeste variazioni nelle velocità medie pregresse, dovute anche al ricalcolo delle serie storiche delle stazioni di riferimento. In particolare, le verifiche effettuate hanno mostrato che tali condizioni possono determinare un aumento della velocità di subsidenza dell'ordine di 0.5 mm/anno, anche sulle serie storiche delle stazioni di riferimento.

² La "subsidenza totale GPS" rappresenta in questo caso l'abbassamento altimetrico che il fondale marino subisce in corrispondenza della piattaforma su cui è installato il CGPS. A determinare tale "subsidenza totale" concorrono vari fenomeni: la compattazione di strati profondi per estrazione di gas (subsidenza antropica), movimenti tettonici e costipazione naturale dei sedimenti (subsidenza naturale), compattazione dei sedimenti più superficiali a fondo mare per effetto del peso della piattaforma. Quest'ultimo fenomeno è evidente soprattutto nel periodo immediatamente successivo all'installazione della piattaforma stessa.

 Eni spa	Campo di CALPURNIA ottobre 2020	Documento GEODCS_REL2020_CALP	Page - 15 - of 59
--	------------------------------------	----------------------------------	-------------------

Si sono, poi, confrontate le previsioni di subsidenza del modello geomeccanico del 2017 con le misure di subsidenza totale² rilevate dal CGPS senza che quest'ultime siano state depurate dalla componente di subsidenza naturale.

Per il campo di Calpurnia, si può notare come le previsioni modellistiche siano in accordo con l'andamento misurato dal CGPS (Figura 15).

In sintesi, le indicazioni del modello previsionale di subsidenza e i monitoraggi fatti da Eni consentono di escludere che l'eventuale subsidenza indotta dalla produzione di gas dai campi del *Clara Complex* (in particolare da Calpurnia), dal campo di Calipso e da quello di Elettra possa avere qualche impatto sull'andamento altimetrico del tratto di litorale monitorato.

Si segnala infine che:

- a) in Figura 16 è presentata una scheda riassuntiva con i dati di campo e lo status dei monitoraggi;
- b) in Figura 17 è presentato un particolare della rete di monitoraggio Eni.



Figura 1 - Ubicazione del campo di Calpurnia

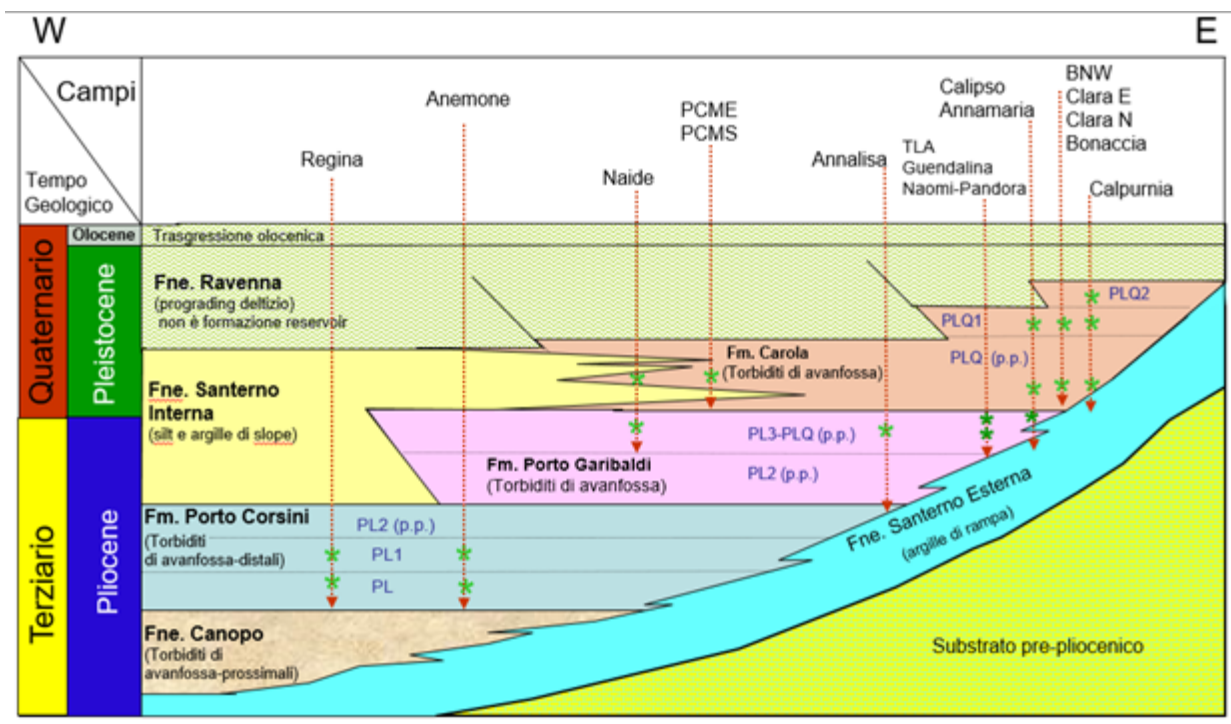


Figura 2 - Bacino Adriatico settentrionale: esempio di schema dei rapporti stratigrafici e dei principali reservoir (*) sviluppati dai campi

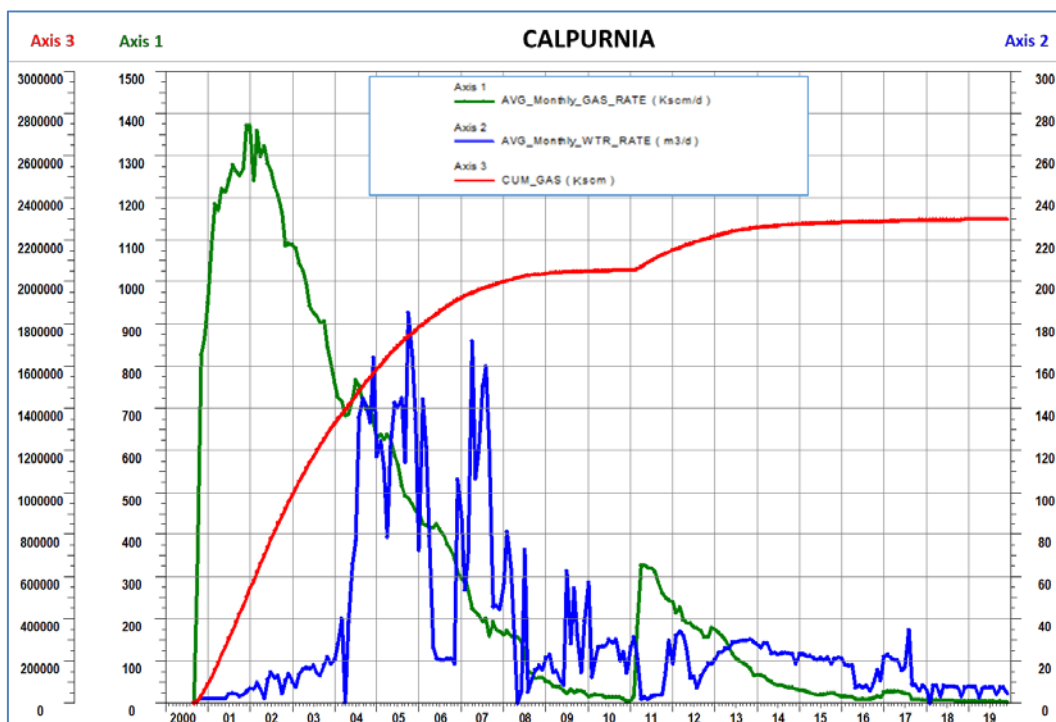


Figura 3 - Campo di Calpurnia: produzione storica

CAMPO DI CALPURNIA					
ANNO	Produzione annuale (MSm ³)		Produzione cumulativa (MSm ³)		Rapporto Produzione reale vs Riserve modello 3D ECLIPSE
	Reale	Modello 3D ECLIPSE	Reale	Modello 3D ECLIPSE	
2000	61	61	61	61	3%
2001	441	441	502	502	22%
2002	454	453	956	956	41%
2003	349	349	1305	1305	56%
2004	262	262	1567	1567	68%
2005	205	205	1771	1771	76%
2006	145	145	1916	1916	83%
2007	79	79	1995	1995	86%
2008	43	43	2038	2038	88%
2009	13	13	2050	2050	89%
2010	5	5	2056	2056	89%
2011	87	87	2143	2143	93%
2012	70	70	2212	2212	96%
2013	44	44	2256	2256	97%
2014	18	18	2274	2274	98%
2015	8	9	2282	2282	99%
2016	5	5	2287	2287	99%
2017	7	8	2294	2295	99%
2018	2	7	2296	2302	99%
2019	2	4	2298	2306	99%
2020		4		2310	
2021		4		2314	
2022		2		2316	

Figura 4 - Campo di Calpurnia: produzioni reali e da modello Eclipse 2017

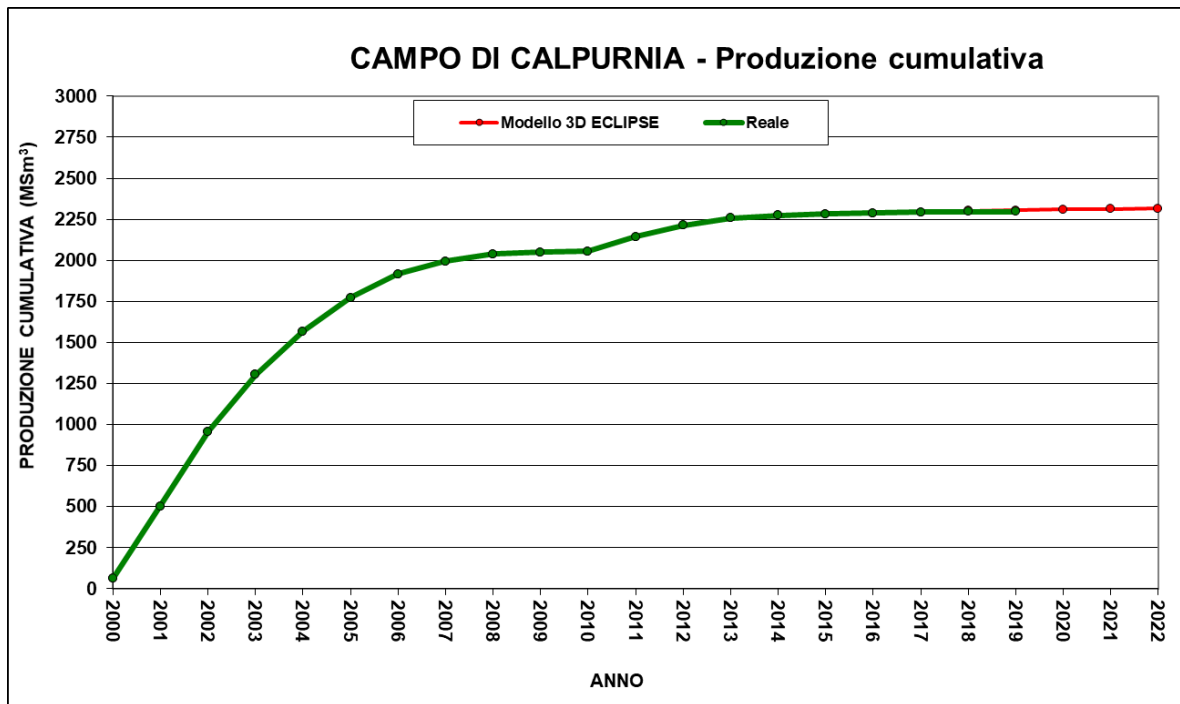


Figura 5 - Campo di Calpurnia: produzione reale e da modello Eclipse 2017

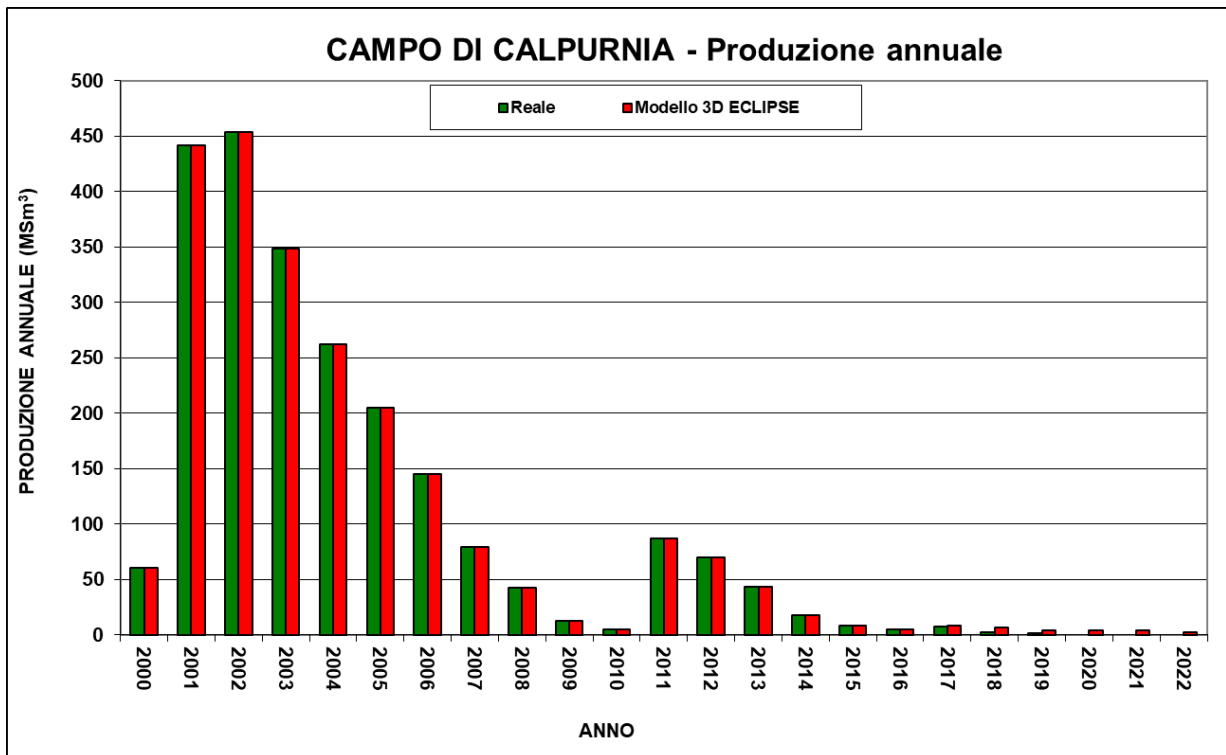


Figura 6 - Campo di Calpurnia: produzione (annuale) reale e da modello Eclipse 2017

CAMPO DI CALPURNIA			
Data	Livello PLQ1-C		
	Pressione (bara)	RFT in pozzo	Profilo in string
01/04/2000	86		6 C
01/10/2001	80		6 C
12/11/2002	72		6 C
29/02/2004	67		6 C
01/06/2009	82		6 C
11/01/2011	89	4 dir A	
09/12/2013	84		6 C
11/12/2014	83		6 C
01/09/2015	*		6 C
03/10/2016	83		7 C
01/12/2017	83		7 C
14/06/2018	84		7 C
06/11/2019	84		7 C

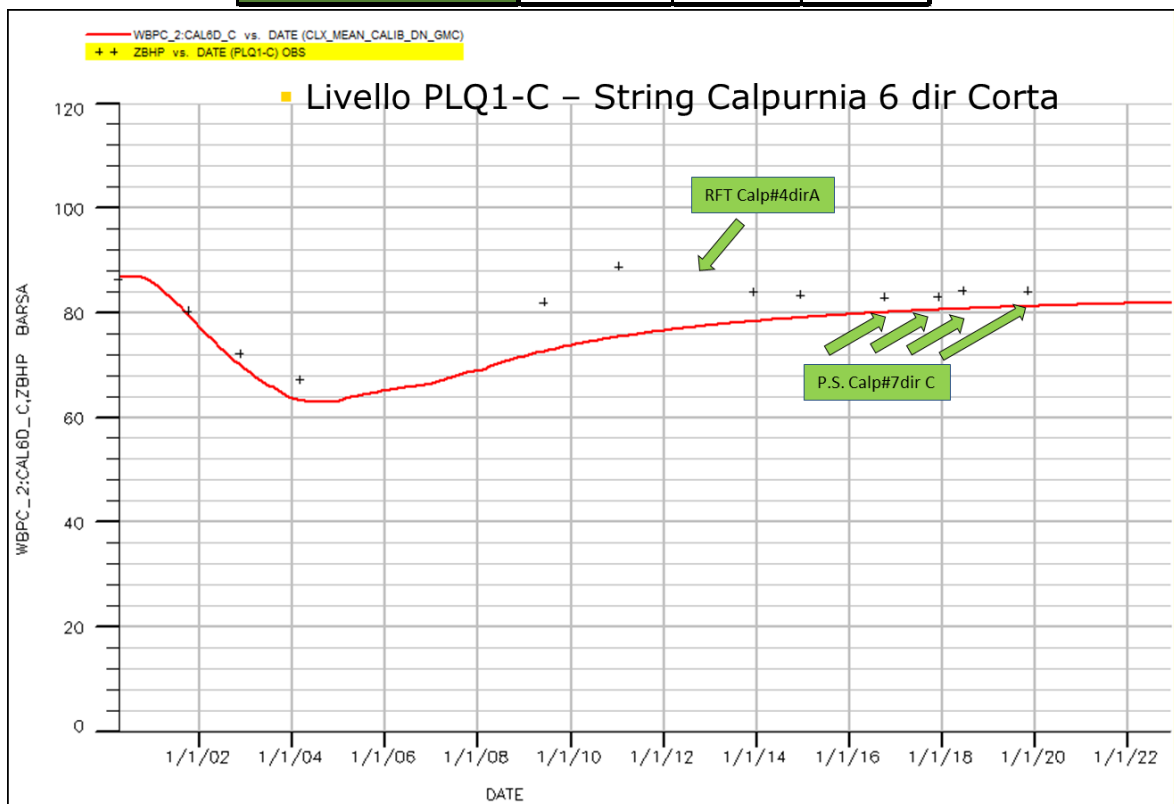


Figura 7 - Campo di Calpurnia: confronto tra dati di pressione da profili statici e modello Eclipse (livello PLQ1-C)

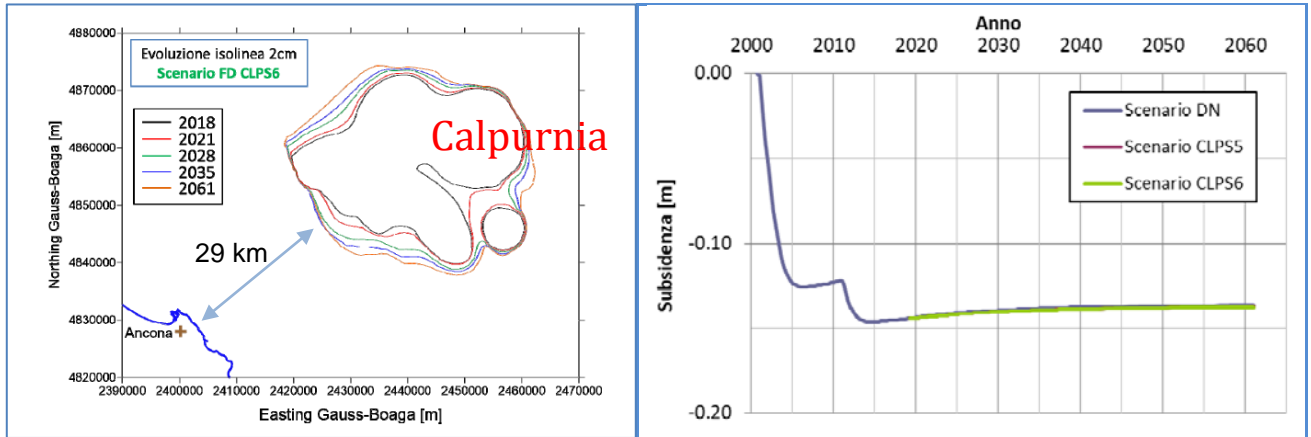


Figura 8 - Evoluzione nel tempo, rispettivamente della linea di iso-subsidenza dei 2cm e della subsidenza prevista nel punto di massimo, per i 3 scenari considerati

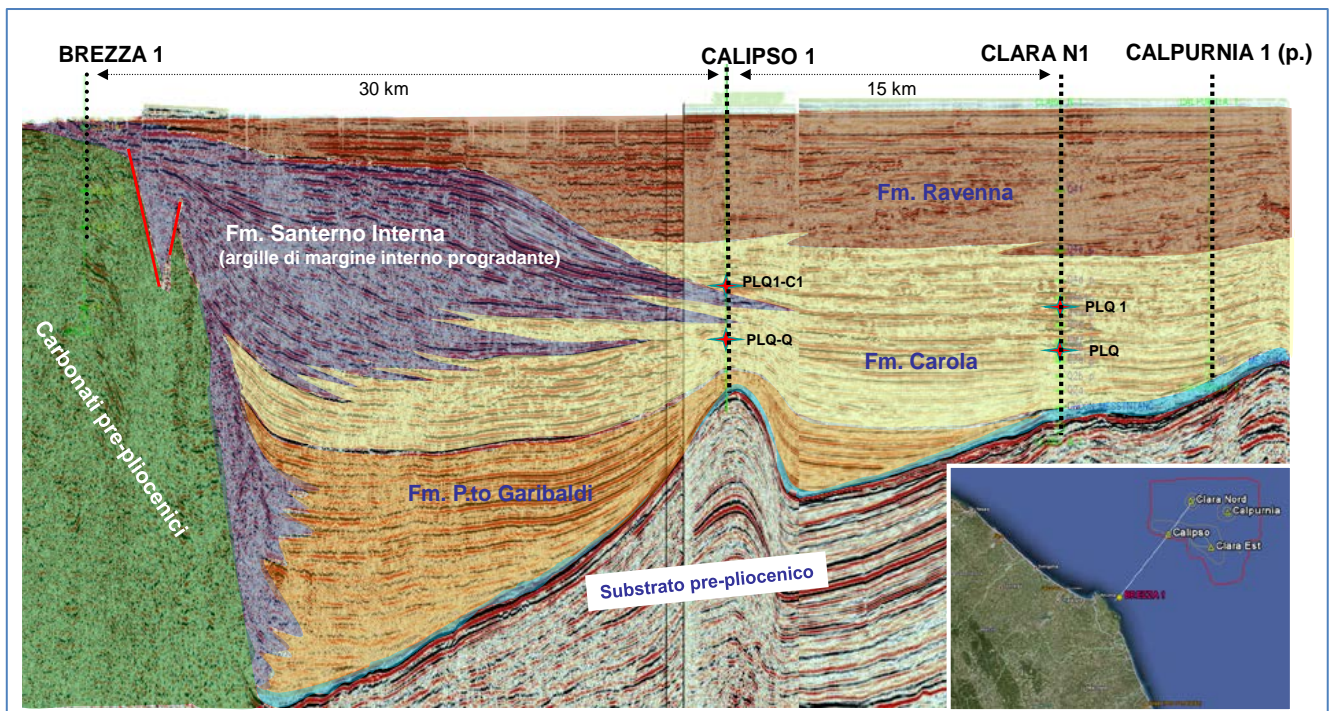


Figura 9 - Clara Complex e Calipso: sezione sismica interpretata

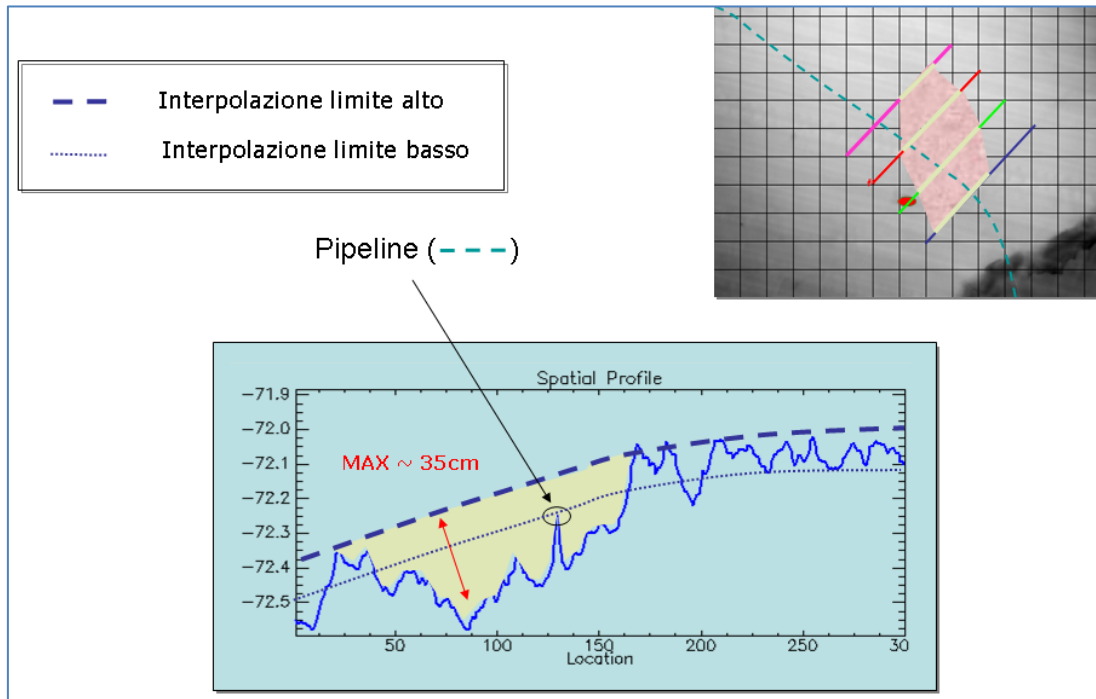


Figura 10 - Campo di Calpurnia: profilo batimetrico interpolato e differenza con la batimetria misurata

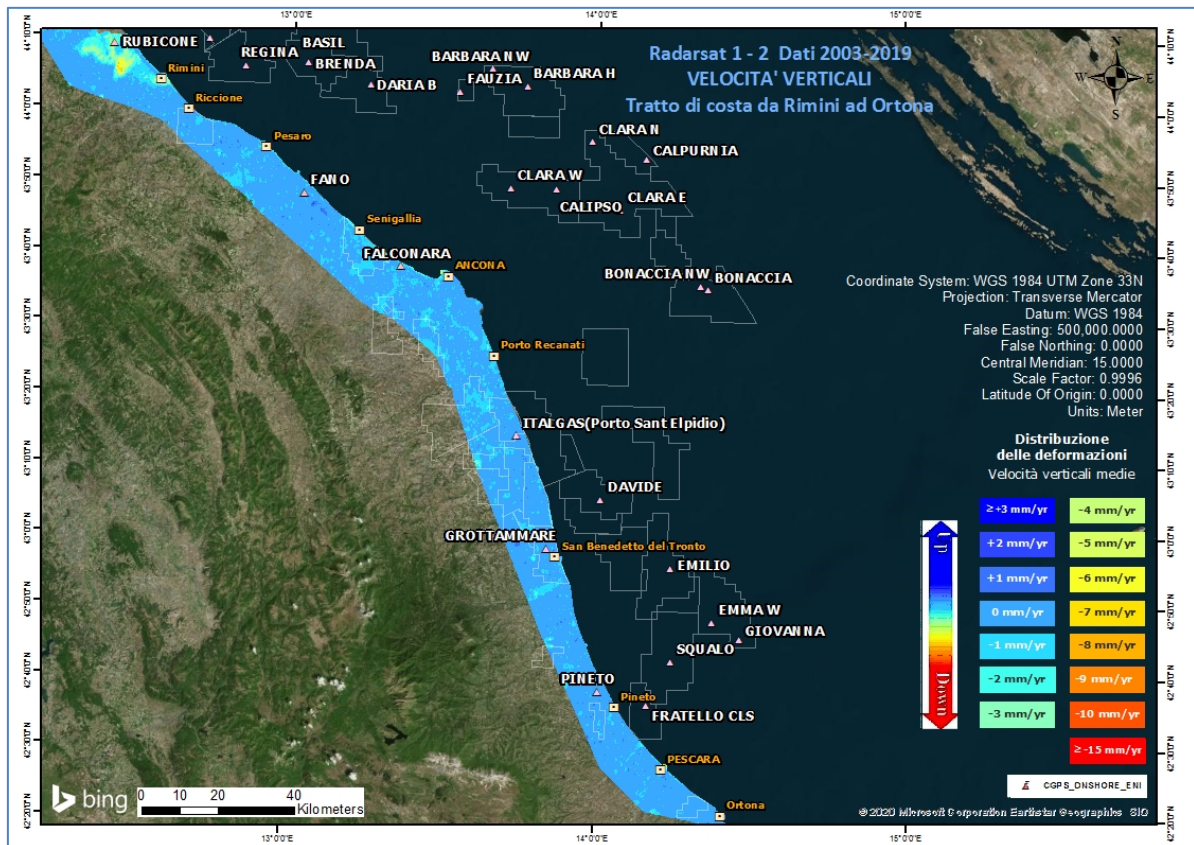


Figura 11 - Campo di Calpurnia: analisi dati SAR dal 2003 al 2019

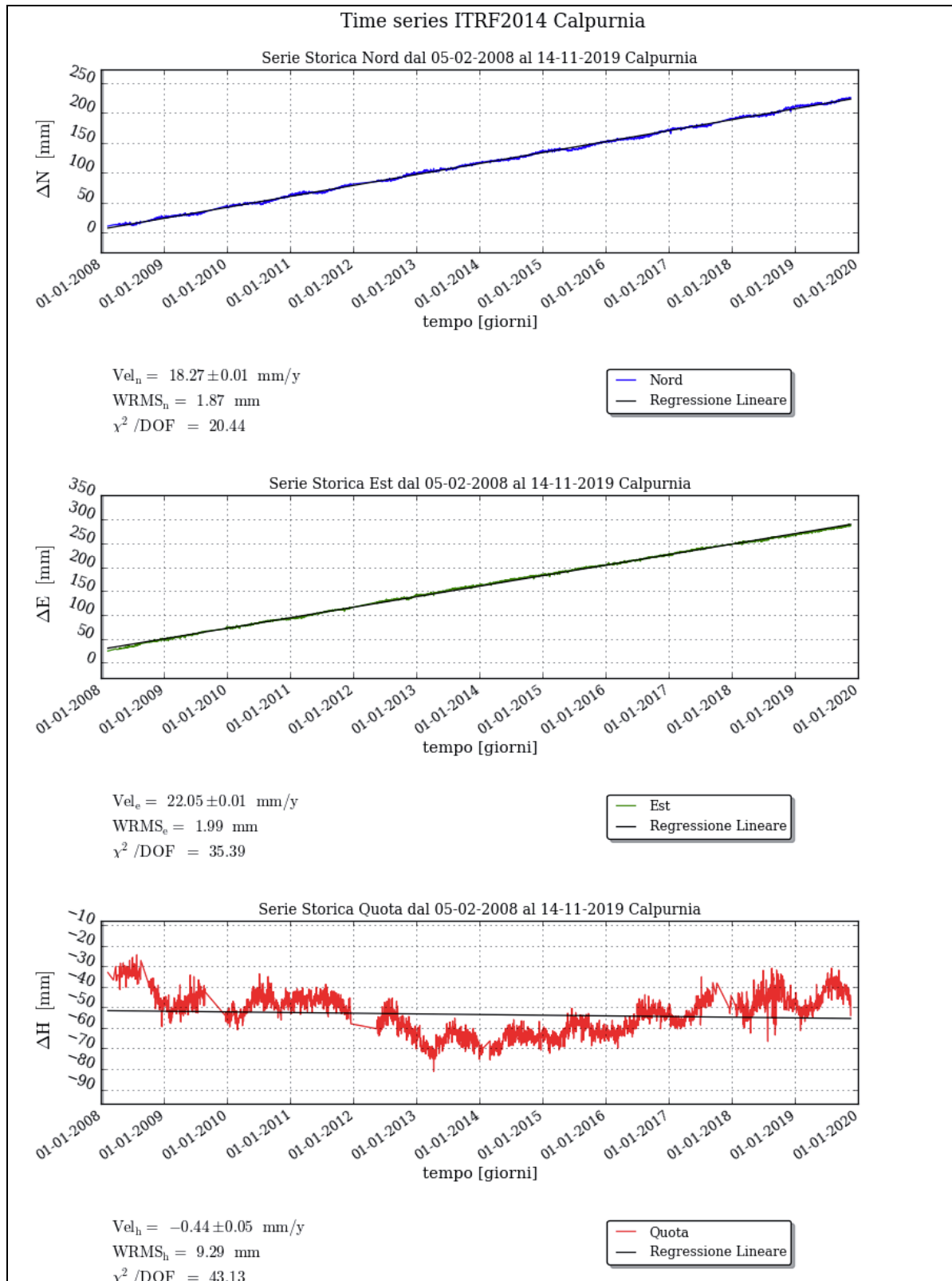
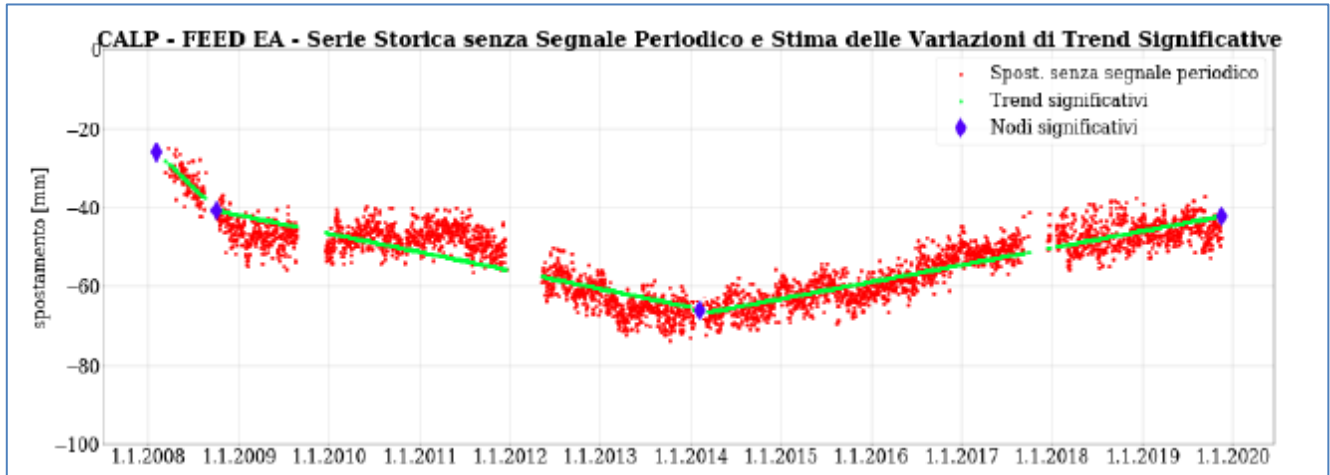


Figura 12 - Campo di Calpurnia: serie storica di misure CGPS



FEED PP - MODELLO EMPIRICO			
Periodo		velocità	sigma
		[mm/y]	[mm/y]
05/02/2008	- 02/10/2008	-21.19	1.22
02/10/2008	- 31/01/2014	-4.86	0.05
31/01/2014	- 15/11/2019	4.13	0.04

Figura 13 - Campo di Calpurnia: analisi della serie di misure CGPS

CAMPO	Inizio produzione	Fine produzione (rif. ultimo profilo di produzione - Mod. Eclipse)	Riserve prodotte @ dic.2019	Max subsidenza prevista (scenario di riferimento)	Ultimo aggiornamento studio	CGPS		
						inizio registrazione	vel.media (mm/a) @ dic.2019	anni di registrazione
ANEMONE	1978	2018	100%	-49cm al 2049	2019	2007	-4,6	12
ANNALISA	2000	2021	99%	-9cm al 2027	2018	2007	-3,5	12
ANNAMARIA	2009	2030	79%	-163cm al 2051	2017	2005	-100,9	14
BARBARA NW	1999	2035	79%	-44cm al 2029	2017	2008	-26,9	11
BONACCIA	1999	2026	95%	-233cm al 2073	2018	2008	-68,1	11
BONACCIA NW	2015					2015	-43,5	4
CALIPSO	2002	2025	92%	-84cm al 2026	2017	2007	-13,7	12
CALPURNIA	2000	2022	99%	-14cm al 2015	2017	2008	-0,4	11
CLARA EST	2000	2038	74%	-81cm al 2038	2017	2007	-14,4	12
CLARA NW	2016					2016	-24,8	3
CLARA NORD	2000	2021	99%	-34cm al 2016	2017	2007	-17,8	12
ELETTRA	2014	2029	69%	-11cm al 2061	2017	2014	-17,8	5
FAUZIA	2014	2023	82%	-5cm al 2068	2017	2014	-4,1	5
GUENDALINA	2011	2022	89%	-8,5cm al 2055	2018	2011	-6,3	8
NAIDE	2005	2020	100%	-8cm al 2020	2017	2005	-3,6	14
NAOMI - PANDORA	2001	2037	55%	-2,6cm al 2049	2017	2002	-2,1	17
PCME (PCMS)	2001	2014	100%	-5,4cm al 2020	2016	2005	-3,9	14
REGINA	1997	2030	99%	-130cm al 2061	2017	2007	-23	12
TEA - LAVANDA - ARNICA	2007	2023	97%	-5cm al 2023	2019	2007	-4,1	12

Figura 14 - Velocità medie di "subsidenza totale" calcolate per tutta la serie storica di misure CGPS vs. modelli

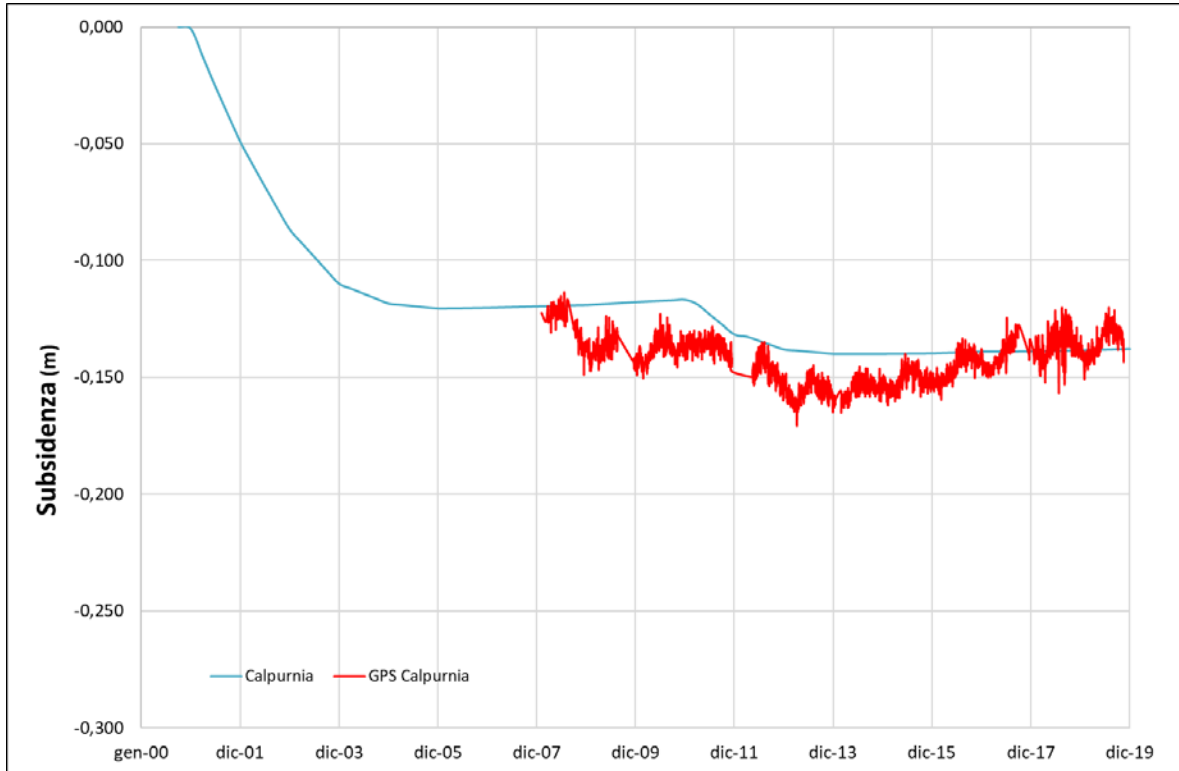


Figura 15 - Andamento della subsidenza misurata (CGPS in p.ma) comparata con la simulazione per il campo di Calpurnia

campo CALPURNIA (Eni 100%)			
DATI DI CAMPO		DECRETO VIA n. 4170 del 15 novembre 1999	
UBICAZIONE PROFONDITA' FONDALE		AGGIORNAMENTO MODELLO DI GIACIMENTO E SUBSIDENZA (CLARA COMPLEX)	
LITOLOGIA		SIA	
FORMAZIONE RESERVOIR		ULTIMO AGGIORNAMENTO	
ZONA MINERARIA		Clara Complex - Agg. Studio di Giac. per Geomeccanica, Rel. IPET-8056D689-0 (dic. 2017)	
PROFONDITA' RESERVOIR		STUDIO DI GIACIMENTO	
TIPO DI PIATTAFORMA		MOD. STATICO E DINAMICO ECLIPSE 3D "FEBBRAIO '96"	
CARATTERISTICHE GEOLOGICHE		RISERVE (MSm ³)	
		MOD. GEOMECCANICO	
		MAX SUBS AL CENTRO (cm)	
		MINIMA DISTANZA DALLA COSTA (km)	
		STATUS ATTUALE DEI MONITORAGGI	
CONCESSIONE		LIVELLAZIONI	
DATA SCADENZA CONCESSIONE		MARKERS	
N. POZZI		CGPS	
RISERVE TECNICHE A VITA INTERA (MSm ³)		SAR	
START UP PRODUZIONE		BATIMETRIE	
FINE PRODUZIONE PREVISTA			
GAS PRODOTTO (MSm ³)			
% RISERVE PRODOTTE			

Figura 16 - Campo di Calpurnia: scheda di sintesi dati campo

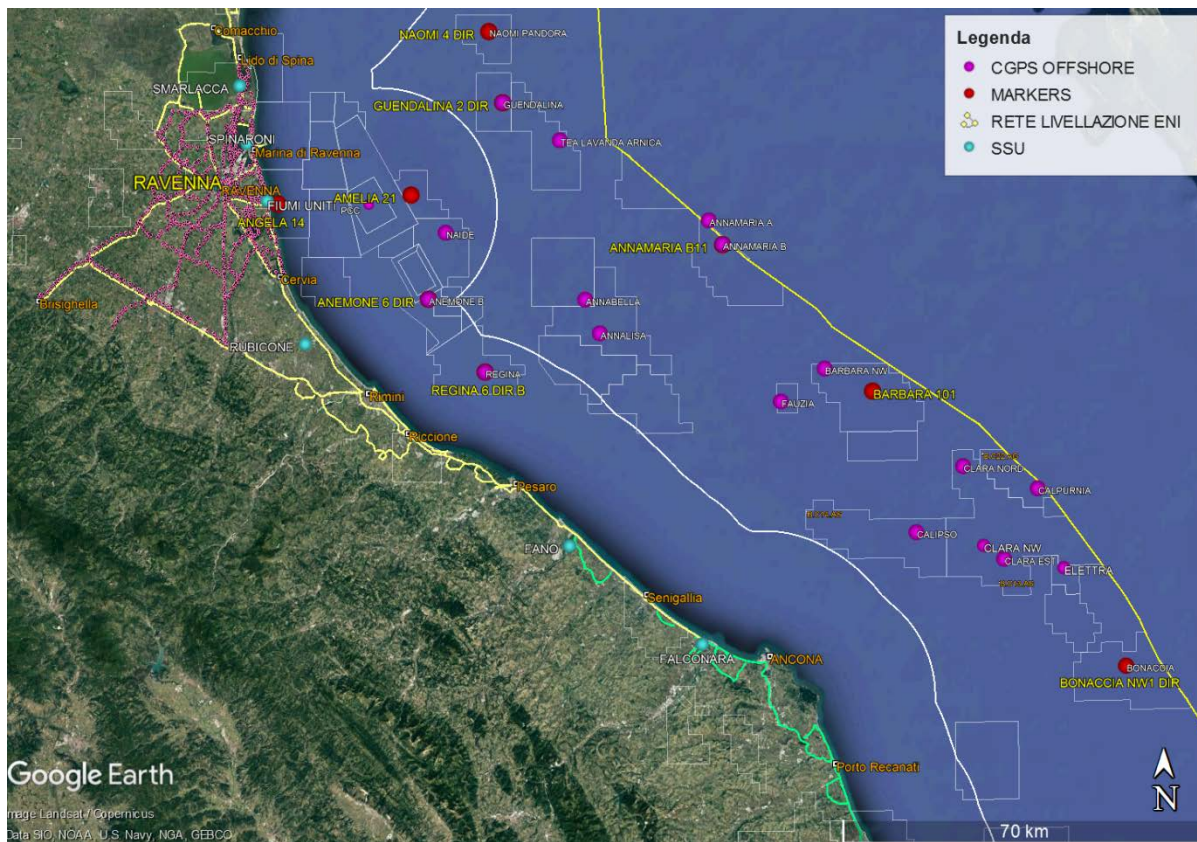


Figura 17 - Particolare della rete di monitoraggio Eni

Appendice A: aggiornamento dati SAR 2003-2019

Le elaborazioni dei dati InSAR per il periodo 2003 – 2019 sono state effettuate con lo stesso algoritmo utilizzato per le analisi dei dati dell’anno precedente.

In seguito verrà descritto con maggior dettaglio l’algoritmo utilizzato (vedi nota a fondo paragrafo “Tecnica PSP-DIFSAR”), cercando di mettere in luce le differenze dei principali algoritmi utilizzati in interferometria radar.

Analisi dati InSAR 2003 – 2019

L’analisi dei dati SAR ha interessato una serie di data-set, elaborati in fase di processamento in modo tale da garantire continuità spaziale dei dati.

Da un’analisi delle differenze tra le velocità medie annuali misurate dai CGPS presenti nell’area di interesse e quelle dei PS (Permanent Scatterer) presenti in un intorno di circa 300 m centrato nel corrispondente CGPS (Tab. 1), si è scelto di accorpare i data-set in due macro-aree, in modo tale che la taratura del dato InSAR minimizzi le differenze tra quest’ultimo e le misure CGPS.

In Tab. 1 vengono presentate: le velocità verticali dei CGPS, V_{vert_CGPS} , e il corrispondente scarto quadratico medio sqm_CGPS ; la media delle velocità verticali dei permanent scatterers nell’intorno avente come centro il CGPS corrispondente $Media_V_SAR$, e il corrispondente scarto quadratico medio sqm_SAR ; la differenza tra le velocità CGPS e SAR e il relativo scarto quadratico medio. Tutte le misure sono in millimetri/anno.

	CGPS	V_{vert_CGPS} [mm/yr]	sqm_CGPS [mm/yr]	$Media_V_SAR$ [mm/yr]	sqm_SAR [mm/yr]	$Diff_VEL$ $CGPS-SAR$ [mm/yr]	sqm_diff [mm/yr]
RAVENNA	SMARLACCA	-6,16	0,01	-3,39	1,21	-2,77	1,22
	SPINARONI	-7,80	0,01	-3,97	0,91	-3,83	0,92
	FIUMI UNITI	-13,73	0,02	-11,19	3,35	-2,54	3,37
FANO-AN-CONA	RUBICONE	-2,64	0,03	-2,93	1,81	0,29	1,84
	FANO	0,1	0,02	0,13	0,82	-0,03	0,84
	FALCONARA	-0,31	0,02	-0,22	1,50	-0,09	1,52
	ITALGAS	-0,06	0,02	0,46	0,72	-0,52	0,74

Tab. 1. Taratura dato InSAR con misure CGPS

La stazione CGPS di Manara è stata dismessa, pertanto non rientra nei calcoli per la taratura del dato InSAR 2019.

Come si può vedere in Tab. 1, le differenze di velocità tra dati CGPS e le velocità medie dei dati InSAR rappresentati nella penultima colonna hanno andamenti diversi nell'intera area, con differenze che si aggirano intorno 3 mm/anno di media per i primi 3 CGPS, mentre per gli ultimi 4 CGPS si notano differenze massime intorno a 0,5 mm/anno.

Di conseguenza si è scelto di mosaicare i diversi data-set in due macro-aree (Fig. 1):

1. Area di Ravenna
2. Area di Fano-Ancona

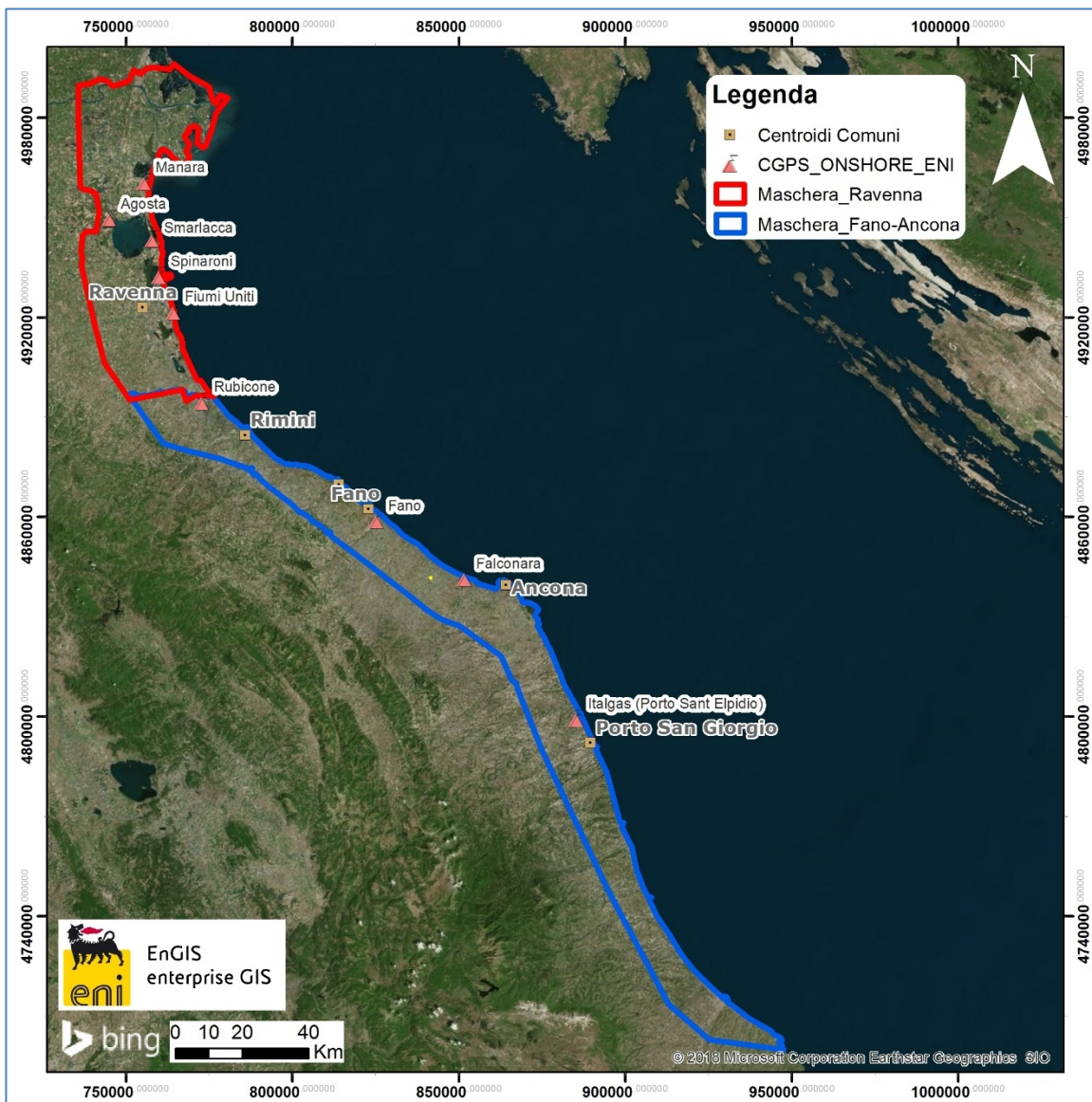


Fig. 1 – Mappa mosaicatura dati InSAR

Complessivamente risultano presenti le seguenti stazioni CGPS afferenti alla rete Eni:

1. **Area Ravenna:** *Smarlacca, Spinaroni, Fiumi Uniti*
2. **Area Fano-Ancona:** *Rubicone, Fano, Falconara, Italgas*

Il processo di calibrazione è stato realizzato utilizzando le informazioni derivanti dalle stazioni di monitoraggio CGPS esistenti all'interno delle aree analizzate, partendo dalle stazioni che presentano una serie storica più consistente (Smarlacca, Spinaroni e Fiumi Uniti).

Si è realizzata quindi la calibrazione dei dati SAR partendo dall'area più a nord (area Ravennate), utilizzando i dati di velocità della stazione di Smarlacca; i dati delle stazioni di Fiumi Uniti e di Spinaroni sono stati utilizzati esclusivamente come valore di verifica dei risultati ottenuti con la calibrazione.

La determinazione delle velocità verticali con dati CGPS è stata calcolata sulla serie storica totale del dato, che per quanto riguarda le postazioni di Smarlacca, Spinaroni e Fiumi Uniti ha un inizio di acquisizione leggermente anteriore rispetto a quello dei dati SAR. Queste velocità così calcolate hanno una differenza sotto il decimo di millimetro/anno, rispetto a quelle calcolate sullo stesso periodo di acquisizione, da considerarsi pertanto trascurabile ai fini di questo studio.

L'analisi dei dati SAR non calibrati, relativi all'area Ravennate nell'intorno della stazione CGPS di Smarlacca per un raggio di 300 metri, ha evidenziato una velocità media pari a $-3,39 \pm 1,21$ mm/anno. Considerando la velocità determinata con il CGPS di $-6,16 \pm 0,01$ mm/anno, si rileva una differenza di $-2,77 \pm 1,22$ mm/anno. Per questo motivo ai valori di velocità media della componente verticale determinata con il monitoraggio SAR, è stato aggiunto il valore di $-2,77 \pm 1,22$ mm/anno. Successivamente sono stati confrontati i punti SAR, che ricadevano in un intorno di raggio pari a 300 m, rispetto ai CGPS di Fiumi Uniti e Spinaroni. Il confronto mostra delle differenze, tra i singoli CGPS e i dati SAR calibrati, sotto il millimetro: ciò conferma la validità della calibrazione effettuata.

In Fig. 2 è visualizzata l'interpolazione dei dati mosaicati, per l'area Ravenna nel tratto di costa da Porto Tolle a Cesenatico. L'interpolatore utilizzato è l'algoritmo di IDW (Inverse Distance Weighted) con Tool ArcGis Spatial Analyst®.

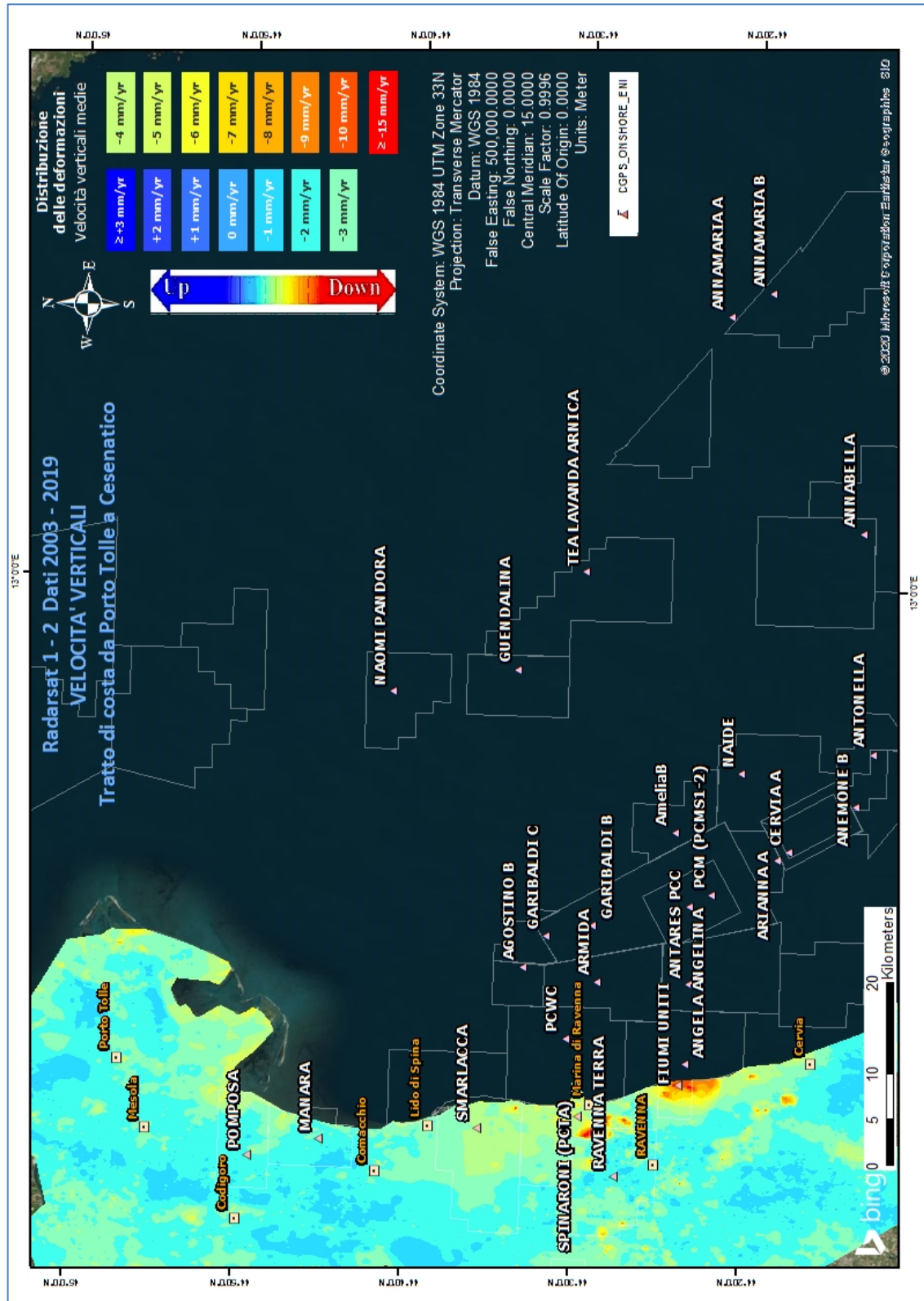


Fig. 2 - Interpolazione IDW (Inverse Distance Weighted) dei dati Radarsat 1 -2, per il periodo 2003 – 2019, con Tool ArcGIS Spatial Analyst®. Tratto di costa da Porto Tolle a Cesenatico.

 Eni spa	Campo di CALPURNIA ottobre 2020	Documento GEODCS_REL2020_CALP	Page - 30 - of 59
--	------------------------------------	----------------------------------	-------------------

Come già effettuato nel 2018, l'altro data set (Area di Fano-Ancona, vedi Fig. 1), verrà analizzato separatamente dall'area Ravennate in quanto è stata rilevata una coerenza delle misure SAR con le misure delle stazioni CGPS interne a ciascun area.

Analizzando l'area SAR di Fano-Ancona, si evidenzia come le velocità dei CGPS di Rubicone, Fano, Falconara e Italgas siano allineate con le velocità misurate dal SAR, con uno scarto inferiore al mezzo millimetro (Tab. 1). Si fa presente che per il confronto viene considerato un intorno di circa 300 m, e la velocità dei dati SAR è una media delle velocità verticali dei Permanent Scatterer (PS) che ricadono all'interno di questo intorno. Considerata l'esiguità della differenza tra il valore misurato dal CGPS di FANO e quella del dato SAR ($-0,03 \pm 0,84$ mm/anno), non si è ritenuto necessario eseguire una calibrazione. Come è possibile notare in Tab.1 per i vari CGPS presenti nell'area, il confronto mostra delle differenze rispetto ai dati SAR puri di circa 0,5 mm/anno in media.

In Fig. 3 è visualizzata l'interpolazione dei dati mosaicati, per l'area Fano-Ancona nel tratto di costa da Rimini ad Ortona. L'interpolatore utilizzato è l'algoritmo di IDW (Inverse Distance Weighted) con Tool ArcGis Spatial Analyst®.

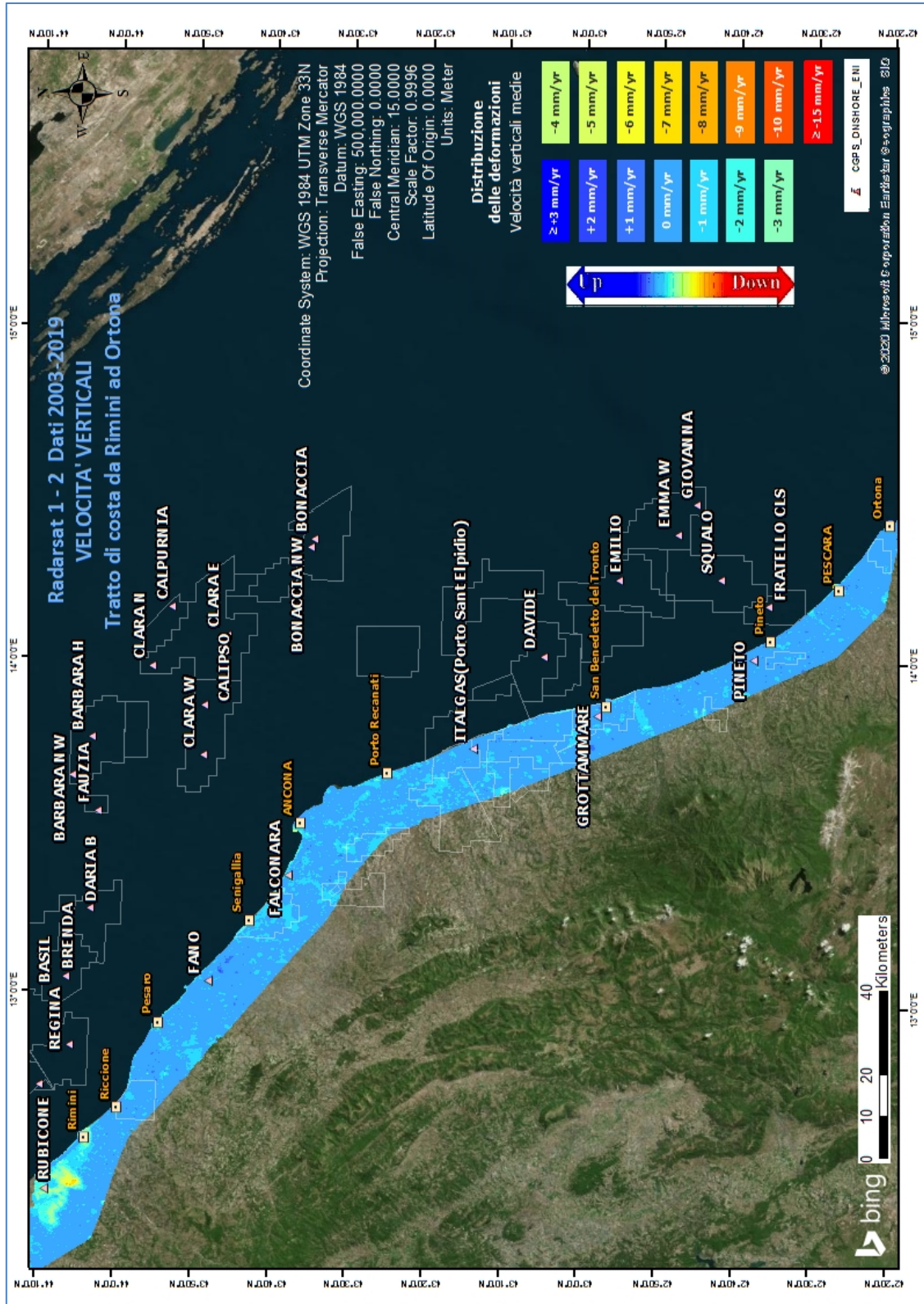


Fig. 3 - Interpolazione IDW (Inverse Distance Weighted) dei dati Radarsat 1 -2, per il periodo 2003 – 2019, con Tool ArcGis Spatial Analyst®. Tratto di costa da Rimini ad Ortona.

Confronto dati SAR 2003 – 2018 vs 2003 – 2019

Il processo di sottrazione tra IDW 2019 e IDW 2018 permette di evidenziare graficamente eventuali differenze nell'andamento medio delle velocità verticali.

Come mostrato in Fig. 4 e Fig. 5 la sottrazione tra i due IDW non mostra differenze importanti, ed in ogni caso rientranti all'interno della deviazione standard dichiarata. Per quanto riguarda punti spot che mostrano differenze più marcate, da un'attenta analisi del dato si è riscontrato come si tratti di aree prevalentemente industriali o di recente edificazione, o zone in cui i dati SAR sono assenti o molto esigui, per cui l'interpolazione IDW ha generato un dato non attendibile per un anno o il successivo, da cui derivano differenze non realistiche. Si sta studiando la possibilità di intervenire sul tool di interpolazione per evitare le zone di ambiguità in caso di aree con mancanza o esiguità di dati.

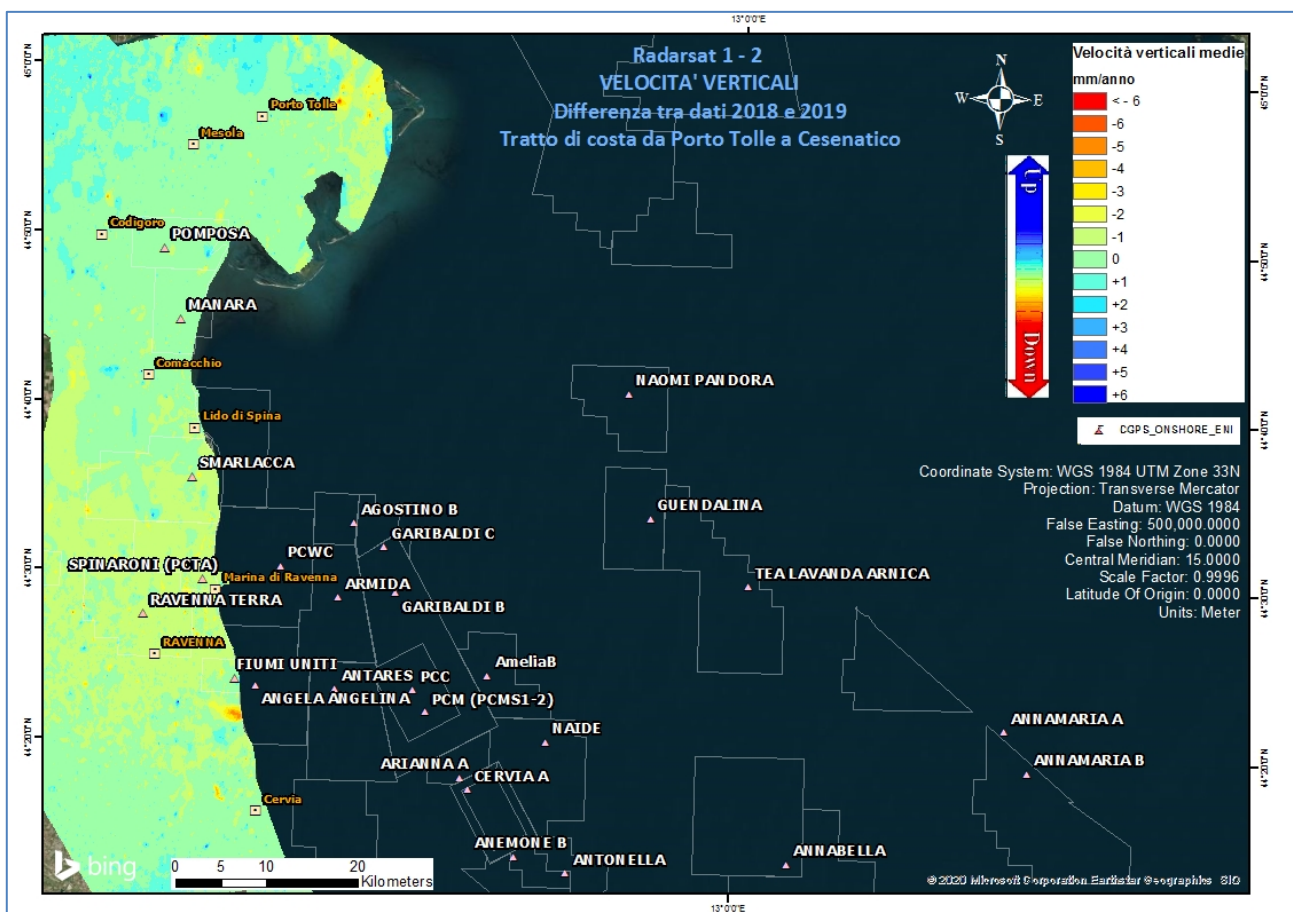


Fig. 4 – Mappa delle differenze prodotta tra il database 2003-2018 e il 2003-2019, utilizzando il Tool Math – Spatial Analyst® di ArcGIS™. Tratto di costa da Porto Tolle a Cesenatico.

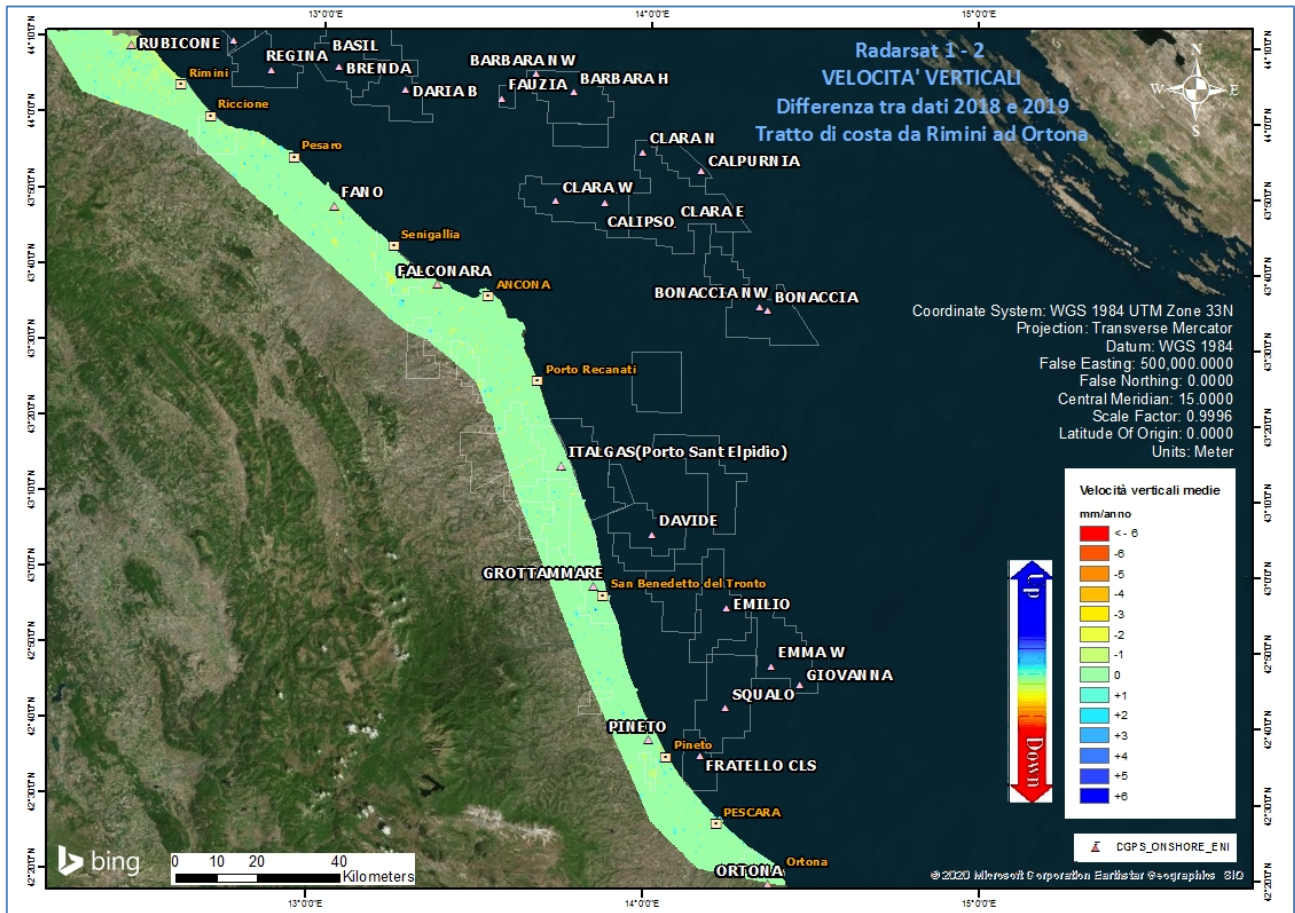


Fig. 5 – Mappa delle differenze prodotta tra il database 2003-2018 e il 2003-2019, utilizzando il Tool Math – Spatial Analyst® di ArcGIS™. Tratto di costa da Rimini a Ortona.

Tecnica PSP-DIFSAR (Estratto dalle Linee guida MATTM 2009)

La tecnologia interferometrica PSP-DIFSAR sviluppata da Telespazio/e-GEOS (<http://www.telespazio.it> / <http://www.e-geos.it>) è una tecnica d'interferometria differenziale SAR di tipo Persistent Scatterer Interferometry (PSI) che utilizza una procedura algoritmica proprietaria per l'individuazione e l'analisi dei Persistent Scatterers (PS) su lunghe serie di immagini SAR (radar ad apertura sintetica), allo scopo di misurare movimenti lenti del terreno dovuti a frane, subsidenza, fenomeni vulcanici e sismici (Costantini et al., 2005). I PS corrispondono generalmente ad elementi al suolo, come manufatti (ad esempio, parti di edifici, antenne, tralicci, elementi metallici in genere) oppure corpi naturali (ad esempio, rocce esposte) che si distinguono dagli altri, presenti nell'area esaminata, per il fatto di possedere un'elevata stabilità nel tempo della cosiddetta "firma radar". Questi punti presentano caratteristiche tali da permettere misure estremamente accurate della distanza sensore-bersaglio così da

 Eni spa	Campo di CALPURNIA ottobre 2020	Documento GEODCS_REL2020_CALP	Page - 34 - of 59
--	------------------------------------	----------------------------------	-------------------

poter evidenziare spostamenti relativi dei PS nel tempo anche solo di pochi millimetri. L'interferometria differenziale si basa su un sensore SAR a bordo di un satellite che invia un impulso elettromagnetico verso la superficie terrestre e riceve il segnale retrodiffuso. Misurando il ritardo di fase tra il segnale inviato e quello retrodiffuso si può determinare con estrema precisione la distanza tra il sensore ed il bersaglio. Se l'oggetto si trova in un'area soggetta a fenomeni di deformazione superficiale, il sensore, passando in istanti successivi sulla stessa area di interesse, rileva tra un'acquisizione e l'altra una variazione di distanza. Questo dato, dopo una complessa elaborazione per l'identificazione dei punti di misura e la rimozione dei contributi spuri (ritardi atmosferici, imprecisione nella conoscenza delle orbite, ecc.), rende possibili misure estremamente accurate di eventuali spostamenti superficiali lenti dell'area di interesse. Una delle peculiarità del metodo PSP è quella di sfruttare solo le proprietà del segnale relative a coppie di punti vicini, sia per identificare sia per analizzare i Persistent Scatterers. Infatti, due punti vicini sono affetti allo stesso modo da artefatti atmosferici ed orbitali, ed in generale da tutti i contributi correlati spazialmente (anche i movimenti non lineari nel tempo). Il metodo PSP presenta le seguenti differenze rispetto alle tecniche PSI standard:

- non richiede calibrazione dei dati o interpolazioni basate su modelli (in particolare per la rimozione degli artefatti atmosferici ed orbitali);
- è meno sensibile alla densità dei PS;
- permette una migliore identificazione di PS in terreni naturali e di PS caratterizzati da movimenti non lineari nel tempo;
- in aggiunta è computazionalmente efficiente ed altamente parallelizzabile.

La densità dei PS individuati è solitamente molto elevata in corrispondenza dei centri urbani e di aree rocciose mentre è praticamente nulla nelle zone vegetate o perennemente innevate. L'insieme dei PS sul territorio costituisce una rete naturale di "capisaldi radar", concettualmente analoga ad una rete di stazioni GPS (Global Positioning System) permanente. La loro densità su scala regionale è però ordini di grandezza superiore a quanto ottenibile con reti geodetiche convenzionali, fornendo un quadro d'insieme a costi decisamente più bassi rispetto a queste, dato che il sensore rileva punti di misura che non richiedono alcun intervento di installazione e manutenzione trovandosi già sul terreno.

Appendice B: Stazioni *EPSU* lungo la fascia costiera compresa tra Cervia e Ancona - aggiornamento a dicembre 2019

Il monitoraggio della compattazione superficiale lungo la fascia costiera adriatica compresa tra Cervia e Ancona, è effettuato tramite 3 stazioni *EPSU* (Extensometric Piezometric Survey Unit) denominate: Rubicone, Fano e Falconara. L'ubicazione di tali stazioni, installate tra il 2008 e il 2009, è riportata in Figura 1B.

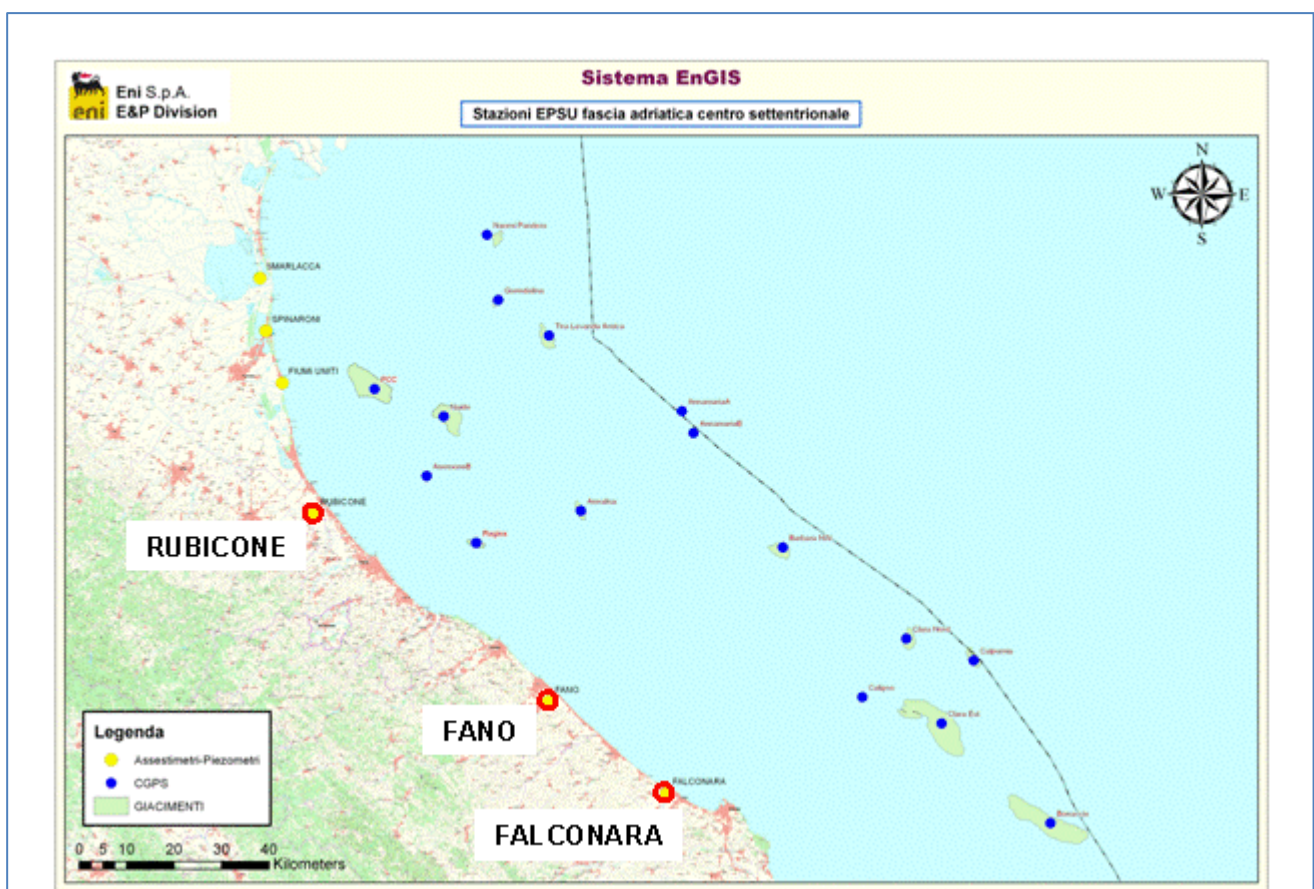


Figura 1B - Ubicazione delle stazioni *EPSU*

In generale una stazione *EPSU* è costituita da un assestimetro, associato a uno o più piezometri, con il corredo di strumentazione meteorologica per la misura della temperatura e della pressione atmosferica (termometri sia in foro che in superficie, e un barometro in modo da compensare le misure assestimetriche e piezometriche per le variazioni rispettivamente della temperatura e pressione atmosferica) come schematicamente rappresentato in Figura 2B.

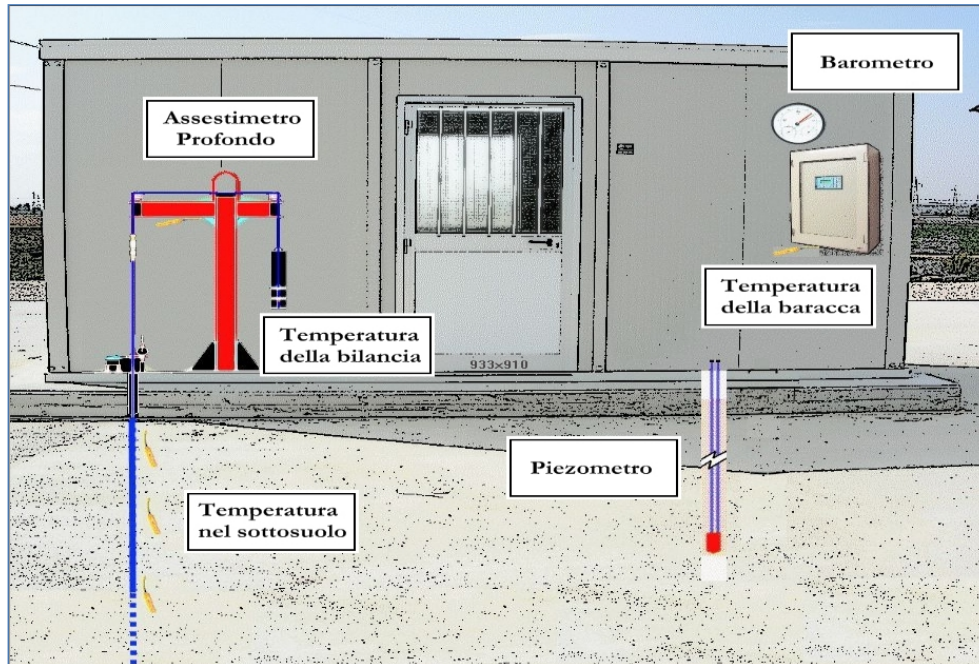


Figura 2B - Rappresentazione schematica di una stazione EPSU

Più in dettaglio, nelle 3 stazioni *EPSU* sono stati installati i seguenti dispositivi di misura:

Località	Pozzo	Strumentazione	Profondità (da P.C.)	Data d'installazione
Rubicone	CGRA-1	Assestimetro profondo	320 m	Gen. 2009
	CGRP-1	Piezometro cella singola	178 m	Gen. 2009
	CGRP-2	Piezometro cella doppia	146 m e 70 m	Gen. 2009
Fano	CGFNA-1	Assestimetro superficiale	40,8 m	Lug. 2008
	CGFNP-1	Piezometro superficiale	6,1 m	Lug. 2008
Falconara	CGFLA-1	Assestimetro superficiale	40,3 m	Lug. 2008
	CGFLP-1	Piezometro cella singola	22 m	Lug. 2008

Per ciascuna stazione *EPSU* vengono di seguito presentati:

1. le principali caratteristiche;
2. grafici con tutti i dati registrati.

N.B.: Nella lettura dei dati riportati sui grafici relativi agli assestimetri, i valori positivi costituiscono la componente della compattazione (riduzione dello spessore dello strato di sottosuolo attraversato dall'assestimetro); al contrario i valori negativi costituiscono la componente dell'espansione (aumento dello spessore dello strato di sottosuolo attraversato dall'assestimetro).

 Eni spa	Campo di CALPURNIA ottobre 2020	Documento GEODCS_REL2020_CALP	Page - 37 - of 59
--	------------------------------------	----------------------------------	-------------------

Stazione *EPSU* di RUBICONE (installata dicembre 2009)

Le coordinate WGS84 della stazione sono: 44°09' 6.76"N e 12° 24' 36.37"E.

La stazione è ubicata, ad una altitudine di 6m s.l.m., a circa 3.5Km a sud-ovest dell'abitato di Gatteo a Mare (FC), lungo il corso della sponda nord del fiume Rubicone ed all'interno della centrale gas Eni denominata "Rubicone".

Strumentazione:

- assestimetro - quota bottom: 320 m da p.c.
- piezometro singolo - quota cella: 178 m da p.c.
- piezometro doppio - quota celle: 146 e 70 m da p.c.

La strumentazione messa in opera nella stazione è illustrata schematicamente nella Figura 3B e Figura 4B, mentre la Figura 5B presenta in dettaglio la litologia dei terreni attraversati dal pozzo assestimetrico e dalle 2 verticali piezometriche. La raccolta dati è iniziata l'8 aprile 2009. A tale data (in occasione del collaudo) è stato fatto "lo zero" dei sensori di misura.

I dati sono stati acquisiti con regolarità secondo la seguente frequenza:

- 08 aprile 2009 - 22 maggio 2009: una misura ogni ora;
- 22 maggio 2009 - 2 novembre 2009: una misura ogni 2 ore;
- dal 02 novembre 2009: una misura ogni 6 ore.

Le misure sono state fatte con alimentazione a batteria fino al 22 maggio 2009. Da tale data fino al 14 luglio 2009 non si hanno registrazioni a causa dei lavori di messa a norma della baracca secondo la normativa ATEX. Dal 14 luglio è ripreso il normale ciclo di funzionamento della stazione. Nel 2011 c'è da segnalare un blackout di dati per mancanza di alimentazione dell'apparecchiatura tra il 29 settembre e il 14 ottobre.

A dicembre 2017 è stata fatta manutenzione straordinaria dei tre piezometri con spurgo e lavaggio dei piezometri della stazione. Per i due piezometri ubicati sulla stessa verticale - quello superficiale e l'intermedio (70 e 146 m da p.c.) - il lavaggio con acqua in pressione ha consentito di escludere che vi fosse comunicazione idraulica fra gli stessi. Le celle e i tubi di tutti e tre i piezometri (tipo Casagrande) sono risultati perfettamente integri: le letture manuali, effettuate subito dopo lo spurgo e durante la fase di ricarica della falda, sono risultate attendibili presentando per tutti i piezometri un dislivello massimo tra i due tubi compreso tra 0 e 1

cm. Tutti i piezometri revisionati sono risultati integri e affidabili per restituzione dei dati. A giugno 2018 è stato sostituito un trasduttore di pressione del piezometro a 178m. Per tutto il 2019 la strumentazione ha funzionato correttamente e non sono presenti lacune nelle serie dei dati registrati. L'ultima verifica generale della strumentazione, con controlli manuali e taratura di tutti i sensori è stata fatta in giugno, agosto e dicembre 2019.

Analisi dei dati assestimetrici

L'assestimetro misura la compattazione degli strati di terreno compresi tra il piano campagna (p.c.) e il punto più profondo d'ancoraggio dello strumento (320 m da p.c.).

Nei grafici allegati (Figura 6B) sono riportati per un confronto sia i dati assestimetrici sia quelli piezometrici; nello stesso grafico è riportato anche l'andamento della pressione atmosferica, i cui dati sono stati utilizzati per depurare i valori delle quote piezometriche. I dati relativi all'assestimetro sono espressi in millimetri e riportano gli spostamenti misurati rispetto a un valore base iniziale ("misura di zero").

Tale misura è quella dell'8 aprile 2009, data di collaudo del sistema. I valori positivi degli spostamenti nel grafico dell'assestimetro indicano una compattazione, quelli negativi, viceversa, un incremento dello spessore (cioè espansione) degli strati di terreno monitorati.

Lo strumento ha sempre segnato un andamento stagionale estremamente regolare, con un decremento delle misure da ottobre a aprile dell'anno successivo (massima espansione), una ripresa delle misure da aprile fino ad ottobre (massima compattazione) per poi decrescere di nuovo. Questo andamento è stato registrato in tutti gli anni di osservazione, ma con pendenze delle curve e, quindi, con velocità di incremento e/o decremento, variabili di anno in anno, l'ultimo anno non fa eccezione (Figure 7B e 8B).

Nel caso della stazione di Rubicone, l'andamento nel tempo della curva di compattazione/espansione registrata dall'assestimetro si correla molto bene con le variazioni di livello dell'acqua nelle tre falde monitorate dai piezometri rispettivamente a 70 m, 146 m e 178 m di profondità. Per tutto il periodo osservato si nota, infatti, un ritardo medio di circa 1÷1.5 mesi nella espansione/compattazione del terreno rispetto all'escursione massima (marzo/aprile) e minima (agosto/settembre) dei livelli di tali falde (Figura 7B e Figura 8B - confronto delle misure piezometrica profonda e assestimetrica dell'ultimo anno).

Nella stessa area della stazione assestimetrica è installata anche una postazione CGPS. Ciò

 Eni spa	Campo di CALPURNIA ottobre 2020	Documento GEODCS_REL2020_CALP	Page - 39 - of 59
--	------------------------------------	----------------------------------	-------------------

ha permesso un confronto fra la velocità media d'abbassamento totale del suolo rilevata dai dati CGPS con quella di compattazione del terreno ottenuta dalle misure assestometriche (Figura 9B). Tali velocità, che si riferiscono però a fenomeni fisici diversi anche se collegati fra loro, sono risultate in sostanziale accordo, soprattutto a partire dal 2012. La velocità media annua, calcolata con regressione lineare, della serie storica di misure CGPS è di -2.64 mm/a, abbastanza prossima a quella ottenuta, in modo analogo, dalle misure assestometriche, che è pari a -2.77 mm/a (Figure 6B e 7B)

Ciò potrebbe indicare che la causa principale d'abbassamento del suolo risieda principalmente nella compattazione dei primi 320 m di terreno e sia indotta dalle oscillazioni stagionali del livello delle falde acquifere e/o dal loro emungimento; infatti la loro dinamica si correla perfettamente con l'assestometro.

Si segnala, inoltre, che per comodità di lettura del grafico:

- le misure del CGPS sono state filtrate con una media mobile su 50 campioni per meglio evidenziarne l'andamento;
- i valori della curva assestometrica sono stati riportati in ordine inverso, così da renderne l'andamento coerente quello della curva CGPS (spostamenti delle curve verso l'alto indicano sollevamenti del terreno e viceversa).

Analisi dei dati piezometrici

Nei grafici dei piezometri (Figura 6B) l'ordinata è la quota piezometrica (m), ovvero la profondità del livello dell'acqua all'interno del tubo piezometrico riferita al piano campagna. Nello stesso grafico (come seconda ordinata) è riportato il valore della pressione barometrica. Nella Figura 7B è stata eliminata l'informazione della pressione barometrica e si può meglio apprezzare l'elevata correlazione tra le pulsazioni del terreno, registrate dall'assestometro, e la dinamica annuale delle falde freatiche, che sembra essere l'unica responsabile della subsidenza totale registrata nell'area e localizzata quasi esclusivamente nella parte superficiale di terreno indagata dall'assestometro.

Nel caso di Rubicone si notano delle effervescenze gassose nei tubi piezometrici causate dalla presenza di piccole quantità di gas nell'acqua; il fenomeno era già stato osservato durante le operazioni di messa in opera dell'attrezzatura. Queste piccole effervescenze causano differenze di misura dei livelli d'acqua nei due tubi del piezometro profondo (pozzo CGRP-1).

Nel mese di ottobre 2012 si sono puliti e controllati i 3 piezometri verificando il loro buon funzionamento. Un nuovo spurgo è stato fatto a fine settembre 2014 e si può osservare dai grafici dei piezometri, soprattutto per la curva relativa a quello superficiale, che a partire da tale data si è modificata la dinamica dell'escursione del livello dell'acqua.

A dicembre 2017, come già detto, è stata fatta una manutenzione straordinaria con spurgo e lavaggio dei tre piezometri. Sono stati controllati anche tutti i trasduttori di pressione. L'affidabilità di questi ultimi, in particolare, è stata accertata facendo diverse misure manuali con freatimetro. Queste sono risultate del tutto in linea con le misure automatiche, consentendo di concludere che tutti i trasduttori erano perfettamente funzionanti e affidabili. Nella stessa occasione sono state fatte misure di fondo foro.

Ad oggi (dicembre 2019) tutti i piezometri e relativi trasduttori, risultano integri ed in grado di fornire dati attendibili.

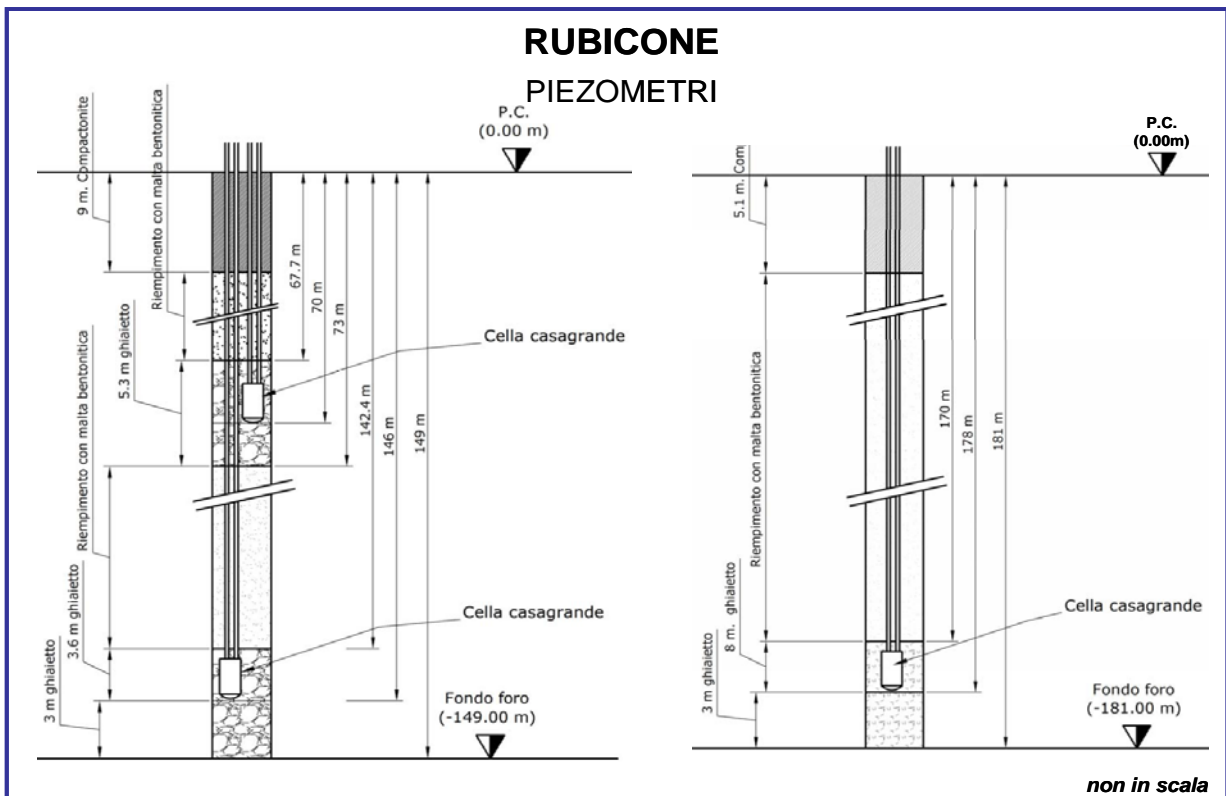


Figura 3B - Schema della stazione EPSU di Rubicone

RUBICONE ASSESTIMETRO

- Modello di assestimetro costituito da 49 aste in ferro da 6m ed ultimi 10m da aste in Invar con 12 giunti telescopici e con boccole a scorrimento assiale.
- Ancoraggio base assestimetro a 320m da p.c. .
- La forza imposta dal sistema a bilanciere sull'asta di misura ha direzione verticale verso l'alto e modulo di poco superiore al peso proprio della batteria d'asta, peso aste 397Kg, peso zavorra 427Kg.

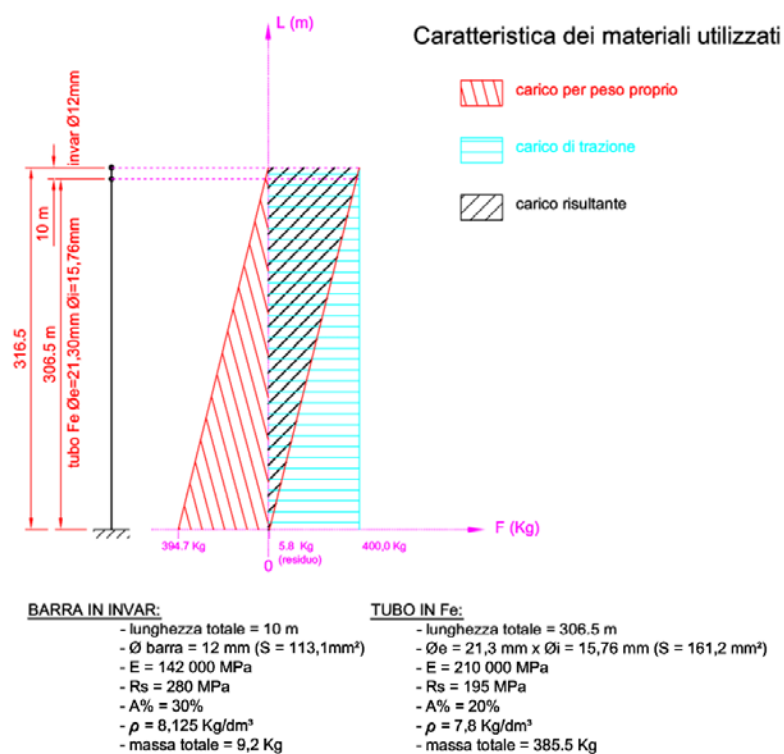


Figura 4B – Dettagli dell'assestimetro di Rubicone

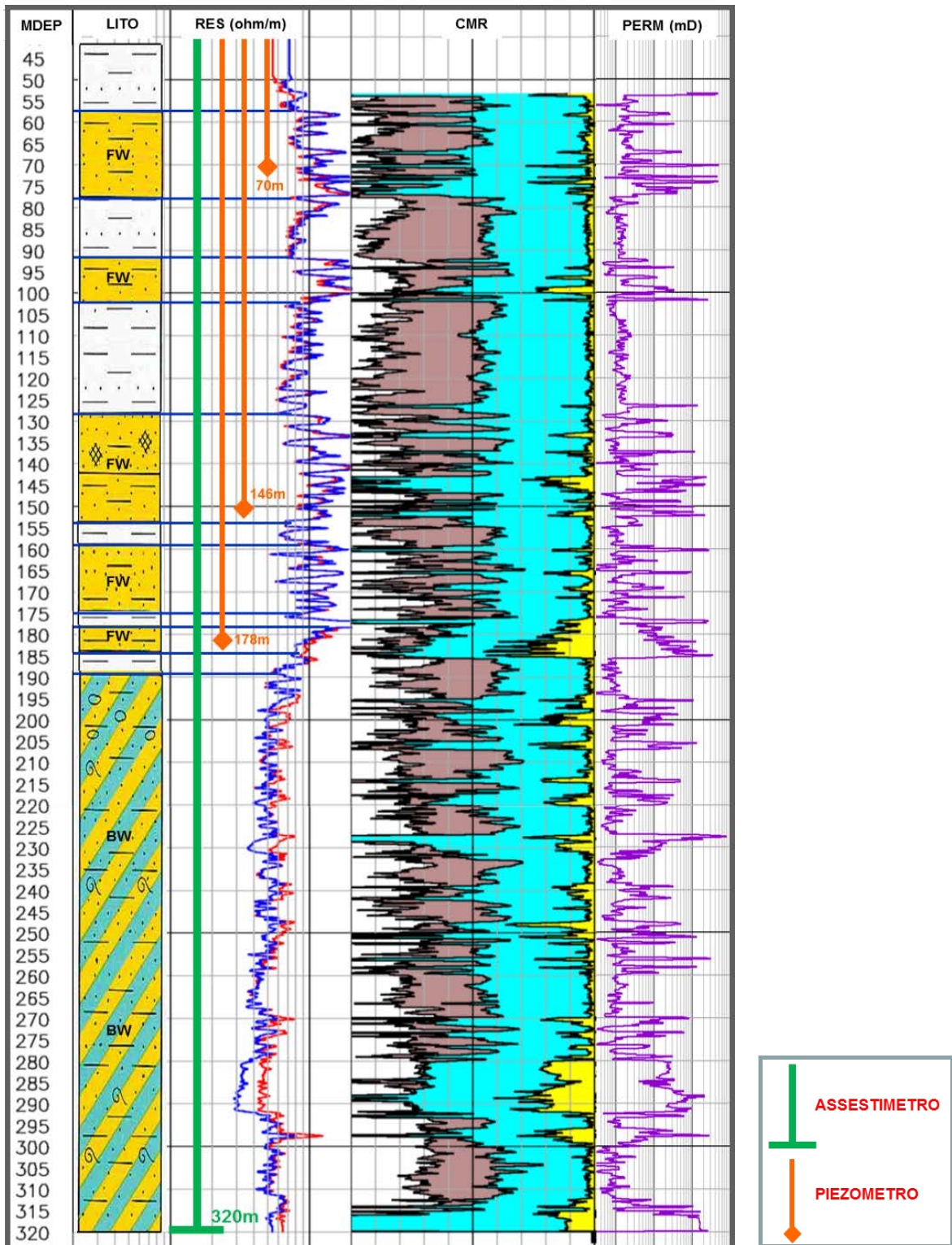


Figura 5B - Litologia dei terreni monitorati dalla stazione EPSU di Rubicone

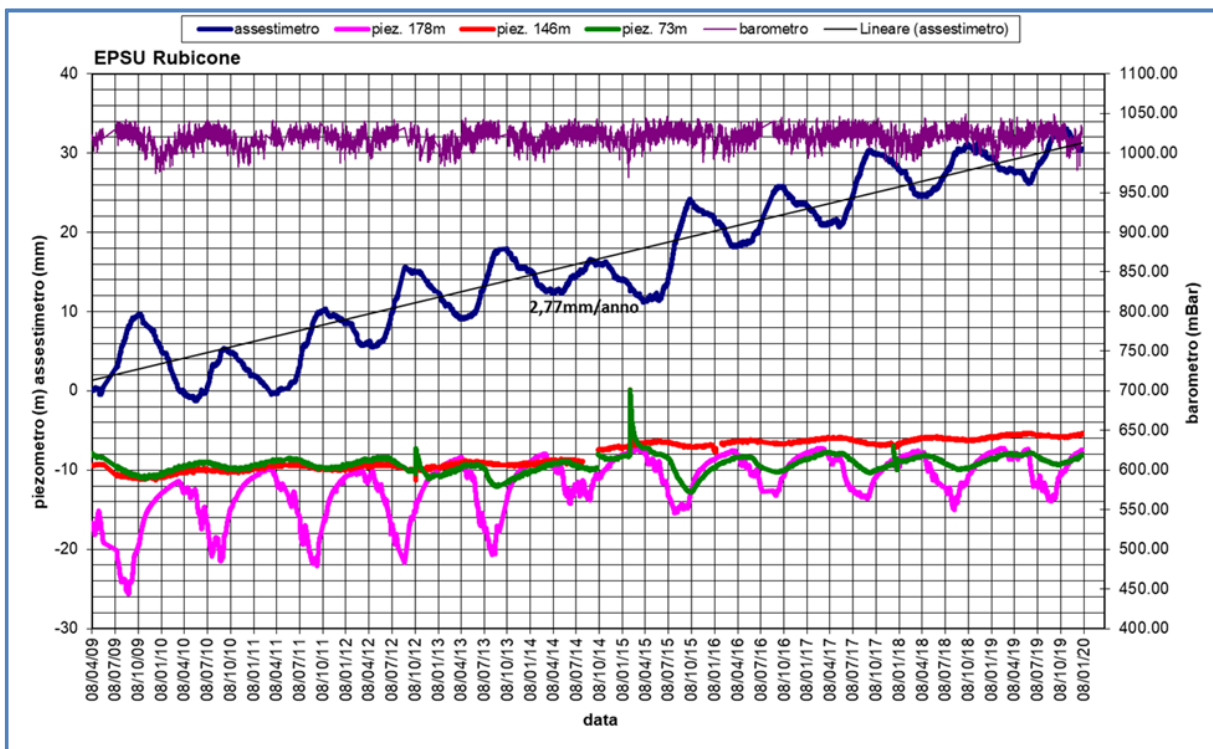


Figura 6B - Stazione EPSU di Rubicone: misure piezometriche, assestimetriche e barometriche

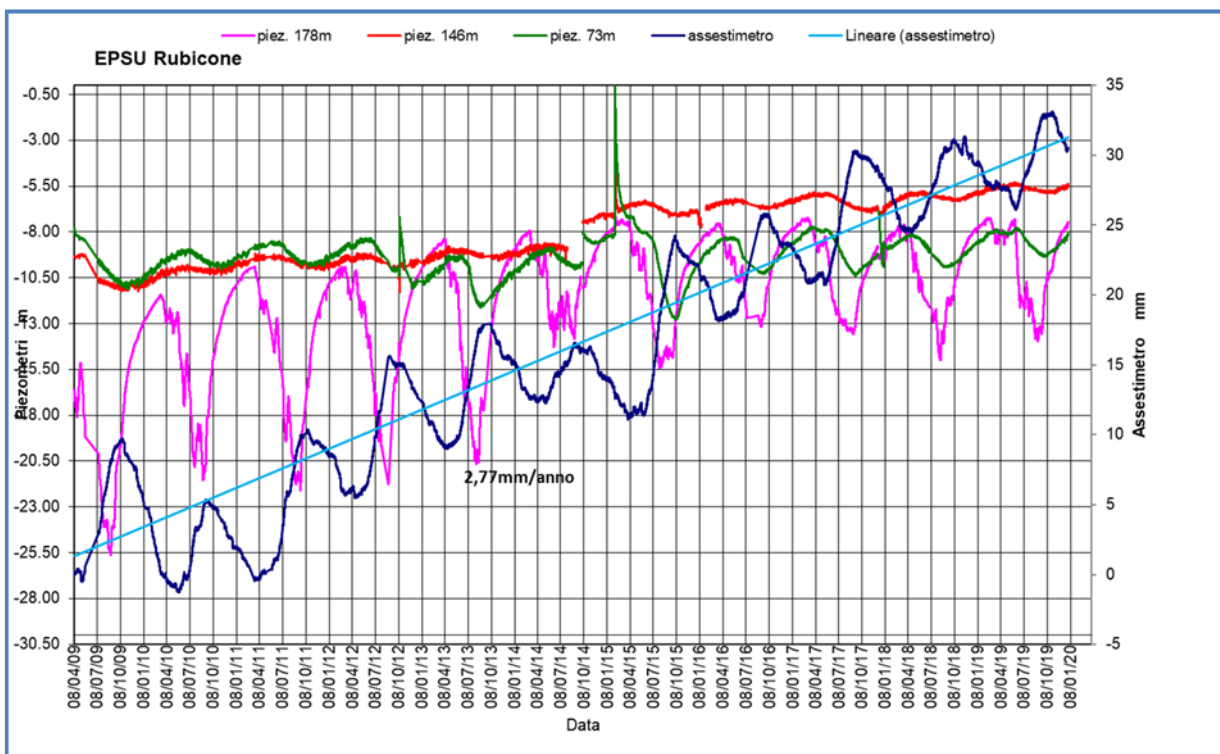


Figura 7B - Stazione EPSU di Rubicone: misure piezometriche e assestimetriche.

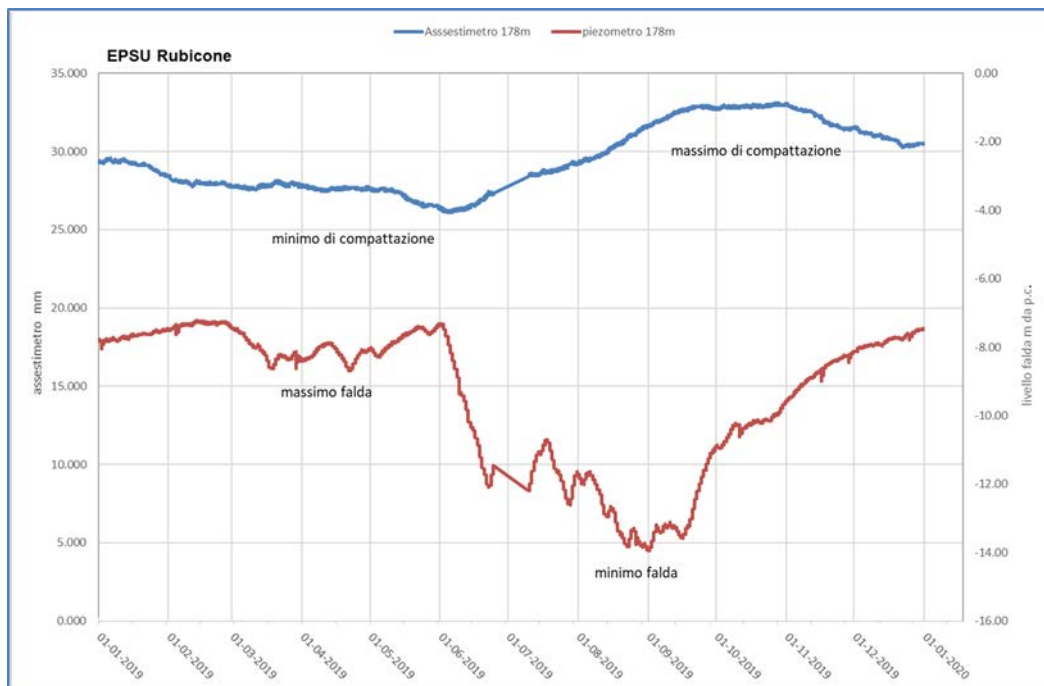


Figura 8B - Stazione EPSU di Rubicone: misure piezometrico-assestimetriche, ultimo anno di dati

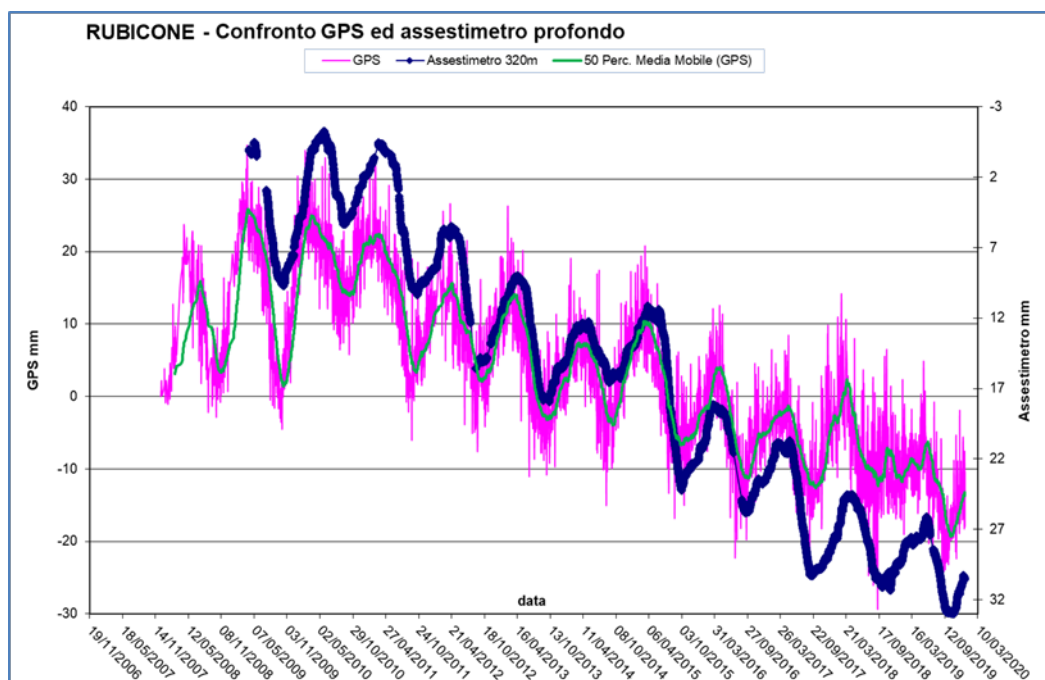


Figura 9B - Stazione EPSU di Rubicone: confronto misure CGPS vs. misure piezometrico-assestimetriche

N.B.: nel grafico per meglio apprezzare le modulazioni della curva CGPS questa è stata filtrata con una media mobile su 50 campioni. Per comodità la curva assestimetrica è stata graficata con i valori in ordine inverso, in modo da renderla coerente con le modulazioni del CGPS (spostamenti delle curve verso l'alto indicano sollevamenti del terreno e viceversa).

 Eni spa	Campo di CALPURNIA ottobre 2020	Documento GEODCS_REL2020_CALP	Page - 45 - of 59
--	------------------------------------	----------------------------------	-------------------

Stazione *EPSU* di FANO (installata ottobre 2008)

Le coordinate WGS84 della stazione sono: 43° 48' 28.37"N e 13° 02' 25.78"E.

La stazione è ubicata, ad una altitudine di 13.5m s.l.m., a circa 4.5Km a SSE della città di Fano (PU), lungo la sponda sud (destra) del fiume Metauro a circa 2.5Km dal mare Adriatico ed all'interno della centrale gas Eni denominata "Fano".

Strumentazione:

- assestimetro - quota bottom: 40.8 m da p.c.
- piezometro a cella singola: quota cella 6.1 m da p.c.

Lo schema della strumentazione messa in opera nella stazione è illustrato nella Figura 10B mentre la Figura 11B riporta la litologia dei terreni attraversati dal pozzetto assestimetrico.

La raccolta dati di questa stazione è iniziata il 16 ottobre 2008. In tale data (in occasione del collaudo) è stato fatto "lo zero" per tutti i sensori di misura.

L'acquisizione dati è stata fatta con regolarità secondo la seguente frequenza:

- 16 ottobre 2008 - 18 maggio 2009 una misura ogni ora;
- 19 maggio 2009 - 31 dicembre 2016 una misura ogni 6 ore.

Nel periodo monitorato (10/2008 - 12/2019) non si sono notate anomalie né a livello sensoristico, né a livello di apparecchiatura d'acquisizione dati, per tutto il 2019 la strumentazione ha funzionato correttamente e non sono presenti lacune nelle serie dei dati registrati. L'ultima verifica generale della strumentazione, con controlli manuali e taratura di tutti i sensori è stata fatta in agosto e dicembre 2019.

Analisi dei dati assestimetrici

L'assestimetro misura la compattazione degli strati di terreno compresi tra la superficie (p.c.) e il punto più profondo d'ancoraggio dello strumento (40.8 m da p.c.).

Nei grafici allegati (Figura 12B) sono riportati per un confronto sia i dati piezometrici, sia quelli assestimetrici, nello stesso grafico è presente anche l'andamento della pressione atmosferica.

 Eni spa	Campo di CALPURNIA ottobre 2020	Documento GEODCS_REL2020_CALP	Page - 46 - of 59
--	------------------------------------	----------------------------------	-------------------

rica. I dati relativi all'assestimetro sono espressi in millimetri e riportano gli spostamenti misurati rispetto a un valore base iniziale ("misura di zero"). Tale misura è quella del 16 ottobre 2008, data di collaudo del sistema. I valori positivi degli spostamenti nel grafico dell'assestimetro indicano una compattazione e, viceversa, quelli negativi (diminuzione dei valori) un incremento dello spessore (i.e. espansione) degli strati di terreno monitorati.

Sin dall'inizio della sua installazione, lo strumento non ha mai fatto registrare significative variazioni di spessore (compattazioni o espansioni) della porzione di terreno monitorato.

Le escursioni cicliche stagionali, infatti, sono dell'ordine di ± 1 mm, con una punta massima di compattazione di circa 1.5 mm registrata all'inizio del 2012.

La curva assestimetrica, inoltre, si correla bene con l'andamento del livello della falda acquifera monitorata dal piezometro posto a circa 6 m dal piano campagna, anche se con uno sfasamento temporale (ritardo dell'assestimetro nel misurare le compattazioni, rispetto ai minimi piezometrici) di qualche mese. Si osservano, infatti, quasi regolarmente i massimi di compattazione all'incirca a metà gennaio di ogni anno, mentre invece i minimi livelli della falda acquifera si verificano, quasi sempre, circa nei quattro/cinque mesi prima dell'anno precedente, ovvero intorno a metà settembre/ottobre.

Nel corso del 2019 (Figura 13B) si è assistito a un ciclo simile agli anni precedenti, senza significative variazioni; una compattazione di circa 1 mm (0.87) a inizio anno è stata quasi del tutto recuperata da una successiva espansione estiva (metà luglio/inizio agosto), per ritornare poi a un valore di circa 1 mm (compattazione) nel periodo autunno-invernale.

Alla fine del 2019 l'assestimetro registra, quindi di nuovo, una compattazione di ca. 1 mm (0.86) con, una compattazione complessiva totale nell'anno nulla (Figura 13B).

Se si prendono in esame tutte le misure assestimetriche, registrate negli 11 anni e poco più (11.21) di osservazioni in questa stazione, queste ultime mostrano, analogamente a quelle della stazione più a sud di Falconara, una situazione del terreno sostanzialmente stabile, con una compattazione complessiva pressoché nulla (-0.001 mm/anno da regressione lineare sui dati assestimetrici Fig.12B), a parte le variazioni cicliche stagionali.

Un comportamento del terreno pressoché identico è registrato dal CGPS ubicato in prossimità della stazione *EPSU*. Le misure CGPS danno, infatti, la superficie del suolo in leggero innalzamento, con velocità media di ca. 0.1 mm/a. A sua volta la velocità media di compattazione stimata con regressione lineare dei dati della serie assestimetrica è praticamente nulla

(0,01 mm/a). L'esame comparato delle due serie di misure assestometriche e da CGPS (Figura 14B) mostra come queste abbiano gli stessi andamenti oscillatori ma sfasati nel tempo. In particolare, la curva assestometrica sembra essere ritardata di ca. 4-5 mesi rispetto a quella del CGPS. È bene osservare, però, che si tratta di movimenti del suolo di bassissima entità, per cui si è al limite del potere risolutivo delle due tecniche di misura.

Passando al confronto con la piezometria, si nota che entrambe le curve assestometrica e CGPS mostrano una buona correlazione con gli andamenti stagionali della falda. La curva assestometrica si presenta, però, sfasata anche rispetto a quella piezometrica, raggiungendo il minimo (massima espansione) circa quattro mesi dopo il massimo del livello piezometrico (Figura 12B e Figura 13B). Questo comportamento potrebbe essere spiegato dal ritardo con cui si contrae o rigonfia un grosso strato d'argilla di circa 32 m (Figura 11B) quando varia la sua saturazione in acqua. La presenza di tale strato d'argilla è stata rilevata durante la perforazione del foro assestometrico. La curva dei dati CGPS sembra invece più in fase nel registrare in superficie i movimenti d'espansione o contrazione degli strati di terreno causati dalle variazioni del livello d'acqua nella falda (sollevamento del terreno in coincidenza dei massimi della falda). Va però notato che l'ubicazione dell'antenna CGPS (stazione SSU) dista circa 150-200 m dalla stazione EPSU, e probabilmente il terreno su cui è stata installata ha una stratigrafia caratterizzata da una minore presenza di livelli argillosi.

Si segnala, inoltre, che per comodità di lettura del grafico (Figura 14B):

- le misure del CGPS sono state filtrate con una media mobile su 50 campioni per meglio evidenziarne l'andamento;
- i valori della curva assestometrica sono stati riportati in ordine inverso, così da renderne l'andamento coerente quello della curva CGPS (spostamenti delle curve verso l'alto indicano sollevamenti del terreno e viceversa).

Analisi dei dati piezometrici

Nello stesso grafico (Figura 12B) dei dati assestometrici si è riportata la piezometria.

Nel grafico del piezometro l'ordinata è la quota piezometrica (in m), ovvero la profondità del livello dell'acqua all'interno del tubo piezometrico riferita al piano campagna. Nello stesso grafico (come seconda ordinata) è riportato il valore della pressione barometrica, con cui sono state corrette le piezometrie.

L'installazione di due trasduttori di pressione, uno per ogni canna del piezometro Casa-grande, rende possibile controllare il grado di affidabilità del piezometro stesso. In questo caso la differenza di misura tra i due sensori è stata di circa ± 7 cm, il che rientra nella normale tolleranza dello strumento.

L'ultimo controllo generale della strumentazione, con controlli manuali dei livelli piezometrici e taratura di tutti i sensori, è stato per il 2019 nei mesi di agosto e dicembre.

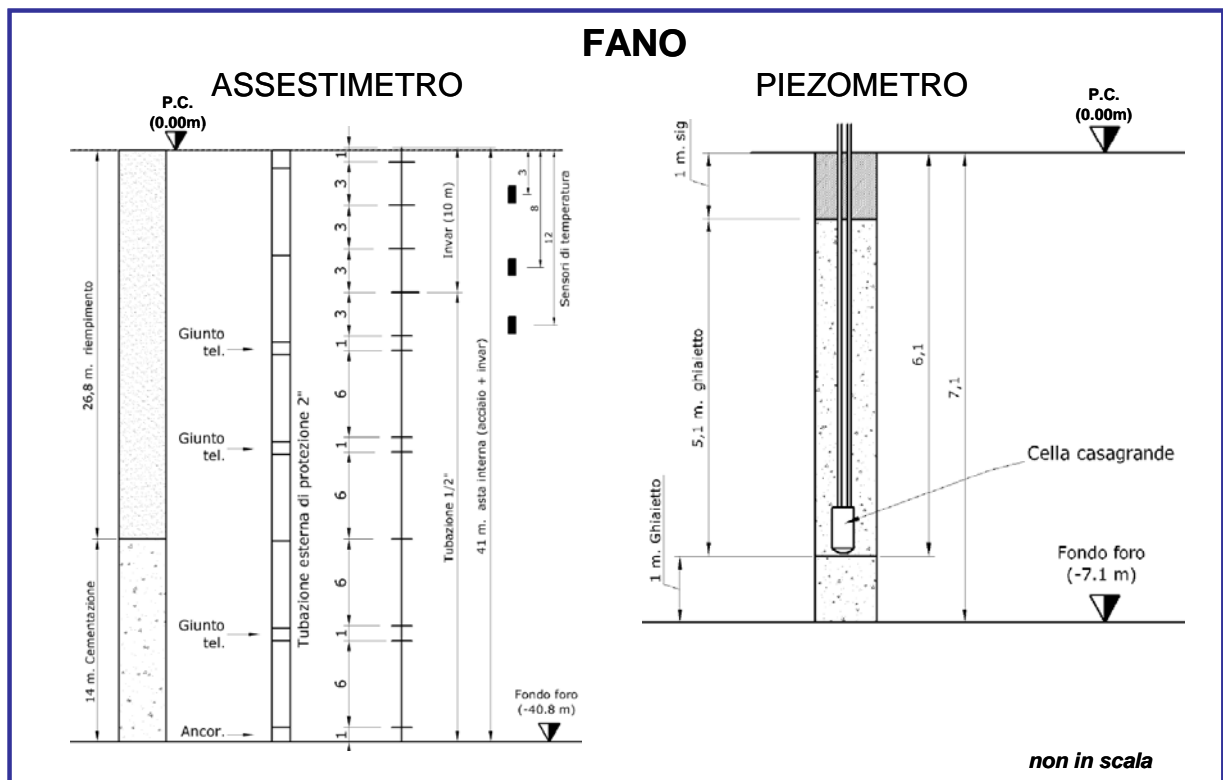


Figura 10B - Stazione EPSU di Fano

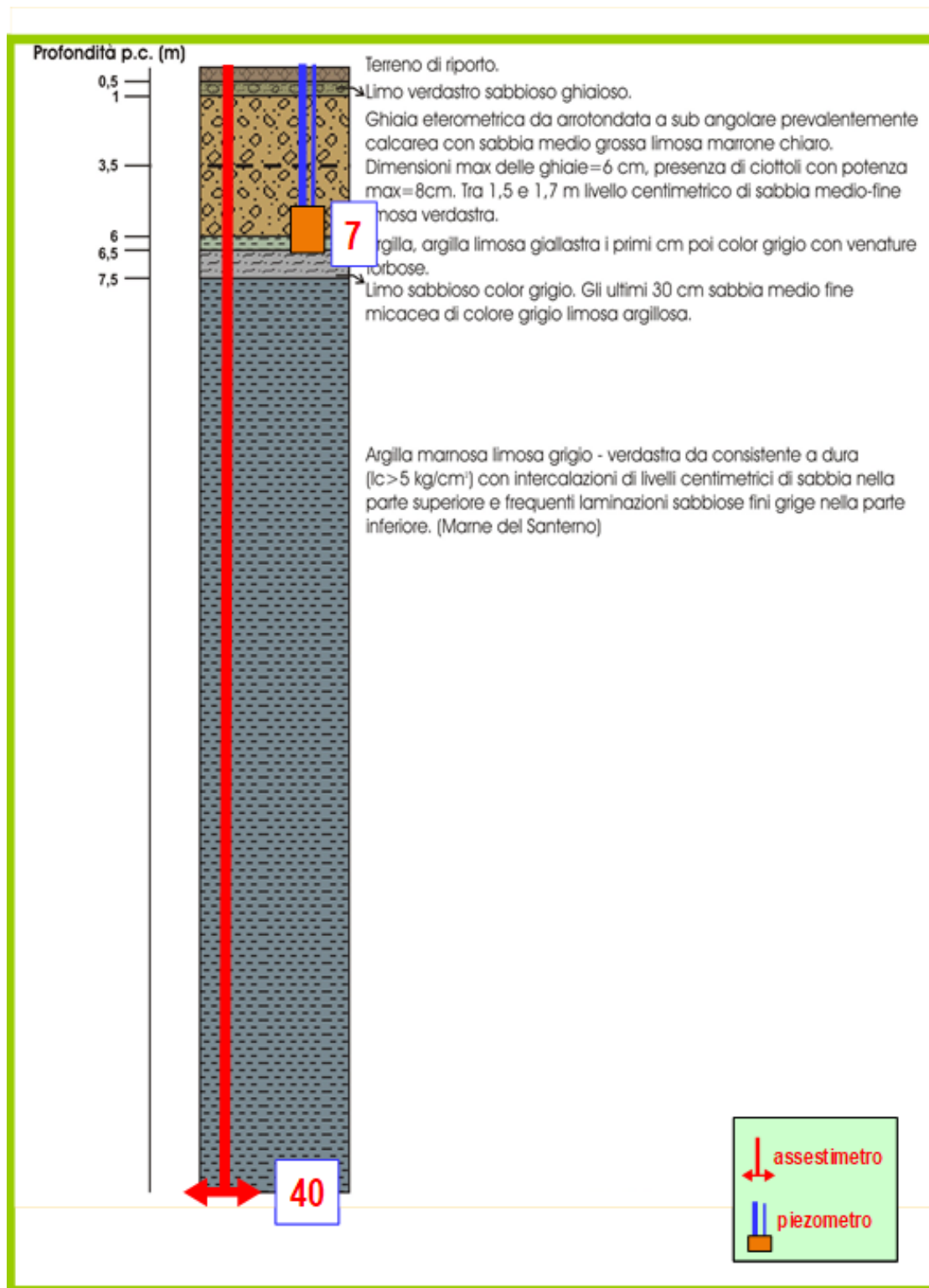


Figura 11B - Litologia dei terreni monitorati dalla stazione EPSU di Fano

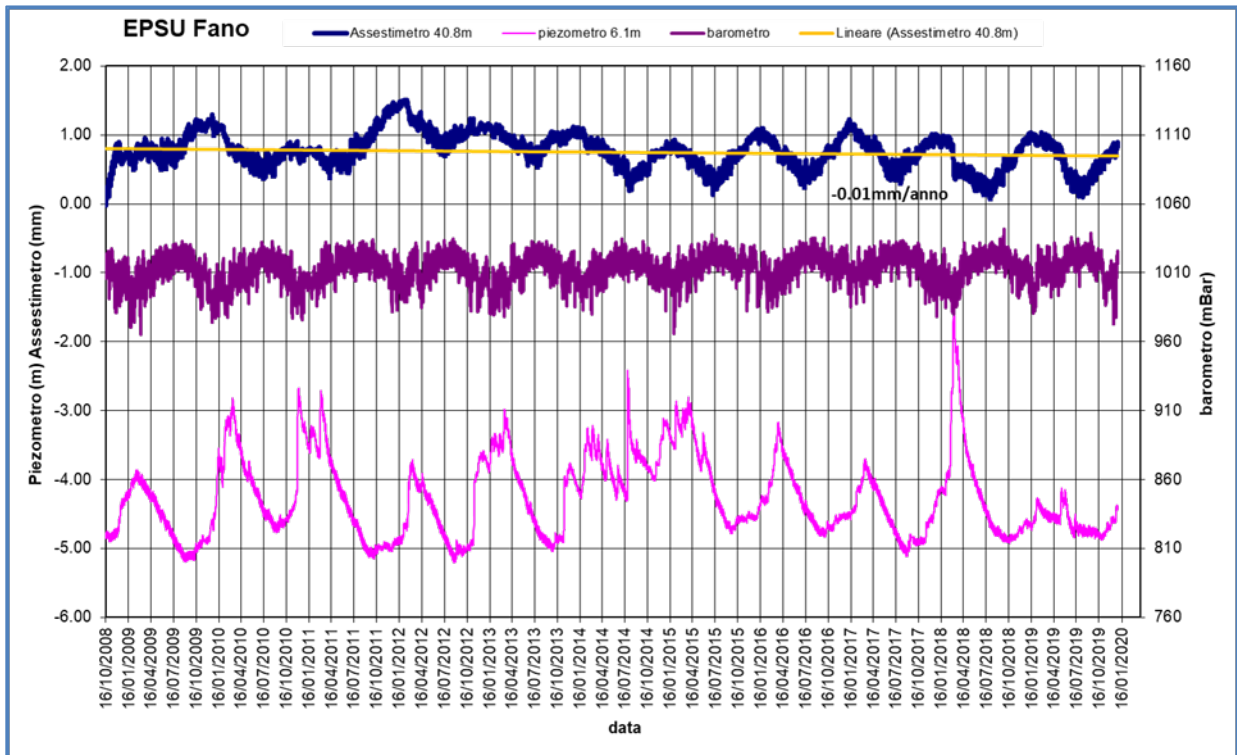


Figura 12B - Stazione EPSU di Fano: misure piezometriche, assestimetriche e barometriche.

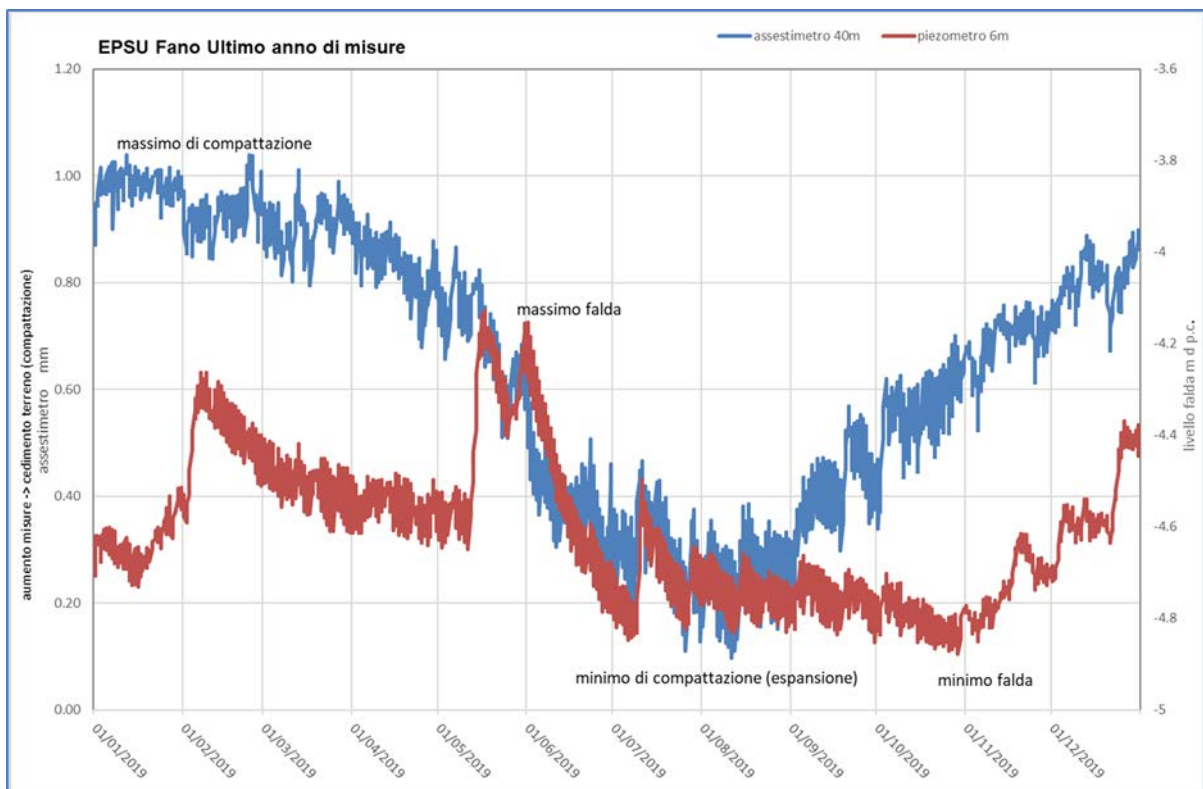


Figura 13B - Stazione EPSU di Fano: misure piezometrico-assestimetriche, ultimo anno di dati.

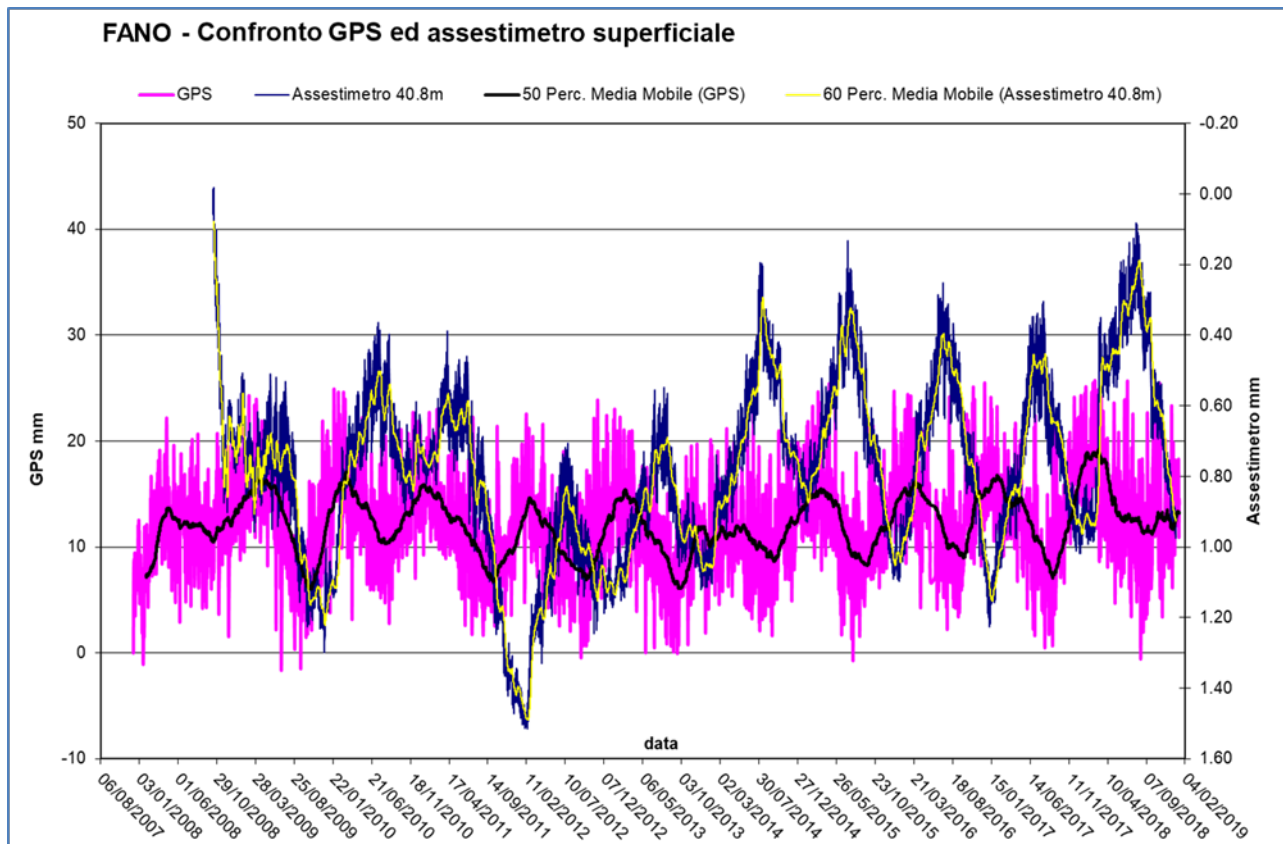


Figura 14B - Stazione EPSU di Fano: confronto fra misure CGPS vs. misure piezometrico-assestimetriche

N.B.: nel grafico per meglio apprezzare le modulazioni della curva CGPS questa è stata filtrata con una media mobile su 50 campioni. Per comodità la curva assestimetrica è stata graficata con i valori in ordine inverso, in modo da renderla coerente con le modulazioni del CGPS (spostamenti delle curve verso l'alto indicano sollevamenti del terreno e viceversa).

 Eni spa	Campo di CALPURNIA ottobre 2020	Documento GEODCS_REL2020_CALP	Page - 52 - of 59
--	------------------------------------	----------------------------------	-------------------

Stazione EPSU di FALCONARA (installata ottobre 2008)

Le coordinate WGS84 della stazione sono: 43° 38' 28.86"N e 13° 21' 23.69"E.

La stazione è ubicata, ad una altitudine di 3.5m s.l.m., a circa 750m a sud-ovest della località Marina di Rocca Priora e dal mare Adriatico, lungo la sponda nord (sinistra) del fiume Esino ed all'interno della centrale gas Eni denominata "Falconara".

Strumentazione:

- assestimetro - quota bottom: 40.3 m da p.c.
- piezometro a cella singola - quota cella: 21 m da p.c.

Lo schema della strumentazione messa in opera nella stazione è illustrato nella Figura 15B, mentre la Figura 16B riporta la litologia dei terreni attraversati dal pozzetto assestimetrico.

La raccolta dati di questa stazione è iniziata il 16 ottobre 2008.

A tale data (in occasione del collaudo) è stato fatto "lo zero" dei sensori di misura.

L'acquisizione dati è stata fatta con regolarità secondo la seguente frequenza:

- 16 ottobre 2008 -18 maggio 2009: una misura ogni ora;
- 08 maggio 2009 - 31 dicembre 2014: una misura ogni 6 ore.

Nei periodi 07 ottobre 2011- 02 novembre 2011 e 03 dicembre - 13 dicembre 2011 si è avuto un problema d'alimentazione all'apparecchiatura d'acquisizione automatica dei dati, con conseguente mancata registrazione degli stessi. Identico problema si è verificato tra febbraio e aprile 2012; si è perciò sostituito parte dell'hardware del sistema d'acquisizione.

Nel 2019 la strumentazione ha funzionato correttamente e non sono presenti lacune nelle serie dei dati registrati. L'ultima verifica generale della strumentazione, con controlli manuali e taratura di tutti i sensori è stata fatta in agosto e dicembre 2019.

Analisi dei dati assestimetrici

L'assestimetro misura la compattazione degli strati di terreno compresi tra il piano di campagna (p.c.) e il punto più profondo d'ancoraggio dello strumento (40.3 m da p.c.).

Nei grafici allegati sono riportati per un confronto sia i dati piezometrici, sia quelli assestimerici e della pressione atmosferica (Figura 17B). I dati relativi all'assestometro sono espressi in millimetri e riportano gli spostamenti misurati rispetto a un valore base iniziale ("misura di zero"). Tale misura è quella del 16 ottobre 2008, data di collaudo del sistema. Valori positivi degli spostamenti nel grafico dell'assestometro indicano una compattazione e, viceversa, valori negativi un incremento dello spessore (i.e.: espansione) degli strati di terreno monitorati. Come nel caso della stazione di Rubicone, anche per quella di Falconara la variazione nel tempo delle misure assestimeriche è caratterizzata da una curva ad andamento oscillatorio stagionale molto ben correlabile con le variazioni di livello della falda d'acqua, a 21m di profondità, registrate dal piezometro nell'ultimo anno (Figura 18B).

L'assestometro, che reagisce quasi immediatamente, senza ritardi, all'escursione massima e minima annuale di tale falda, mostra, inoltre, uno stato del terreno assolutamente stabile nel tempo, cioè senza apprezzabile compattazione. La velocità media annua calcolata con regressione lineare delle misure assestimeriche risulta, infatti, pari a ca. -0.1 mm/a (ovvero minima compattazione dello spessore di terreno monitorato).

Identico andamento emerge dall'analisi delle misure di abbassamento/sollevamento del suolo della stazione CGPS installata in loco. La correlazione tra le due curve, assestimerica e CGPS (Figura 19B), è estremamente elevata, il loro sfasamento temporale è pressoché nullo e le "pulsazioni" (espansioni e compattazioni) del terreno (tutte di piccolissima entità) sono correlate alle variazioni di livello della falda acquifera. La velocità media annua calcolata con regressione lineare dei dati CGPS risulta pari a -0.3 mm/a (ovvero leggerissimo abbassamento della superficie del suolo).

Si segnala, inoltre, che per comodità di lettura del grafico (Figura 19B):

- le misure del CGPS sono state filtrate con una media mobile su 50 campioni per meglio evidenziarne l'andamento;
- i valori della curva assestimerica sono stati riportati in ordine inverso, così da renderne l'andamento coerente quello della curva CGPS (spostamenti delle curve verso l'alto indicano sollevamenti del terreno e viceversa).

Analisi dei dati piezometrici

Il grafico di Figura 17B oltre ai dati assestimetrici riporta in ordinate sia la quota piezometrica (in m), ovvero la profondità del livello dell'acqua all'interno del tubo piezometrico riferita al piano campagna, sia il valore della pressione barometrica, utilizzato anche per correggere le piezometrie.

Nel caso di Falconara il livello della falda è risultato molto alto, circa 1.3 m da p.c. Dato che si sono utilizzati 2 trasduttori di pressione - uno per ogni canna del piezometro Casagrande - si è in grado di controllare l'attendibilità delle misure.

Nel 2019 è stata effettuata la manutenzione ordinaria delle apparecchiature nei mesi di agosto e dicembre. In tutte le occasioni si è misurato manualmente con freattimetro il livello della falda per verificare la qualità delle misure registrate dai trasduttori. Le differenze riscontrate sono risultate sempre molto piccole, dell'ordine di 2-3 cm, per cui i piezometri sono da considerarsi affidabili e funzionanti.

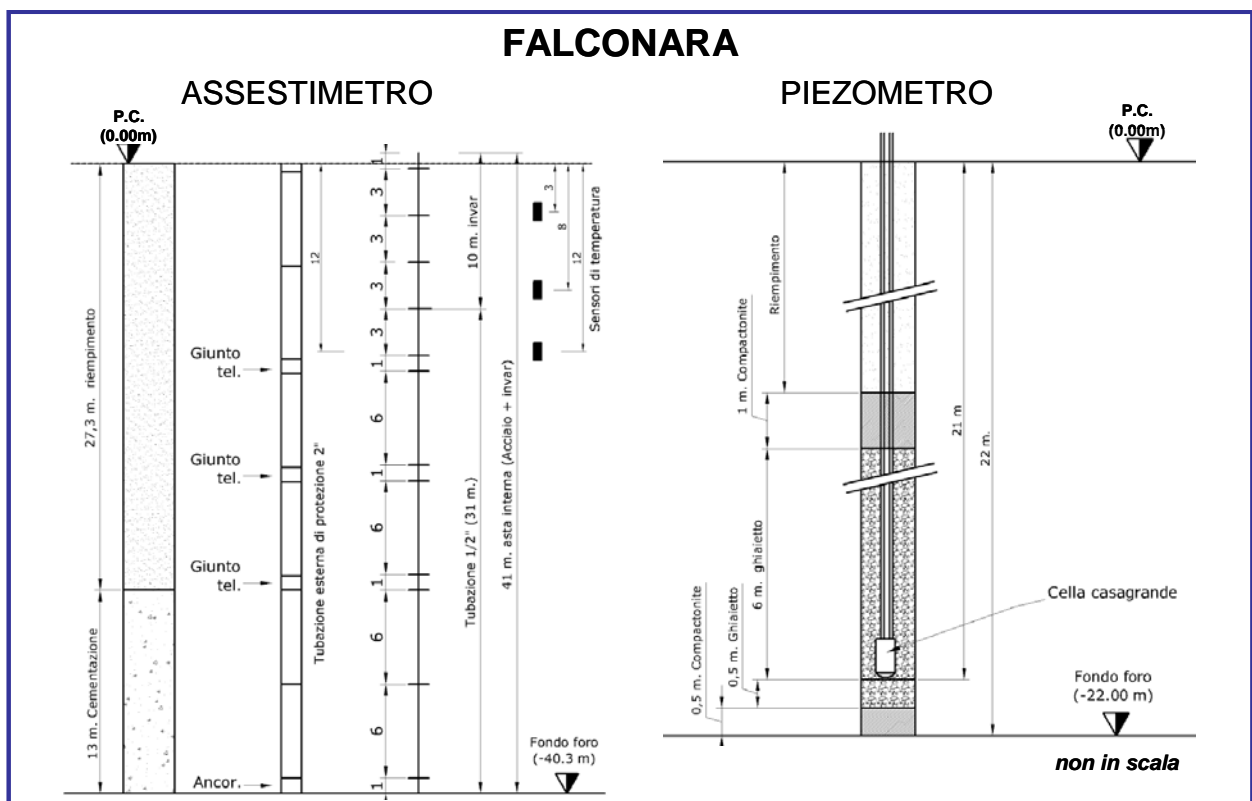


Figura 15B - Stazione della stazione EPSU di Falconara

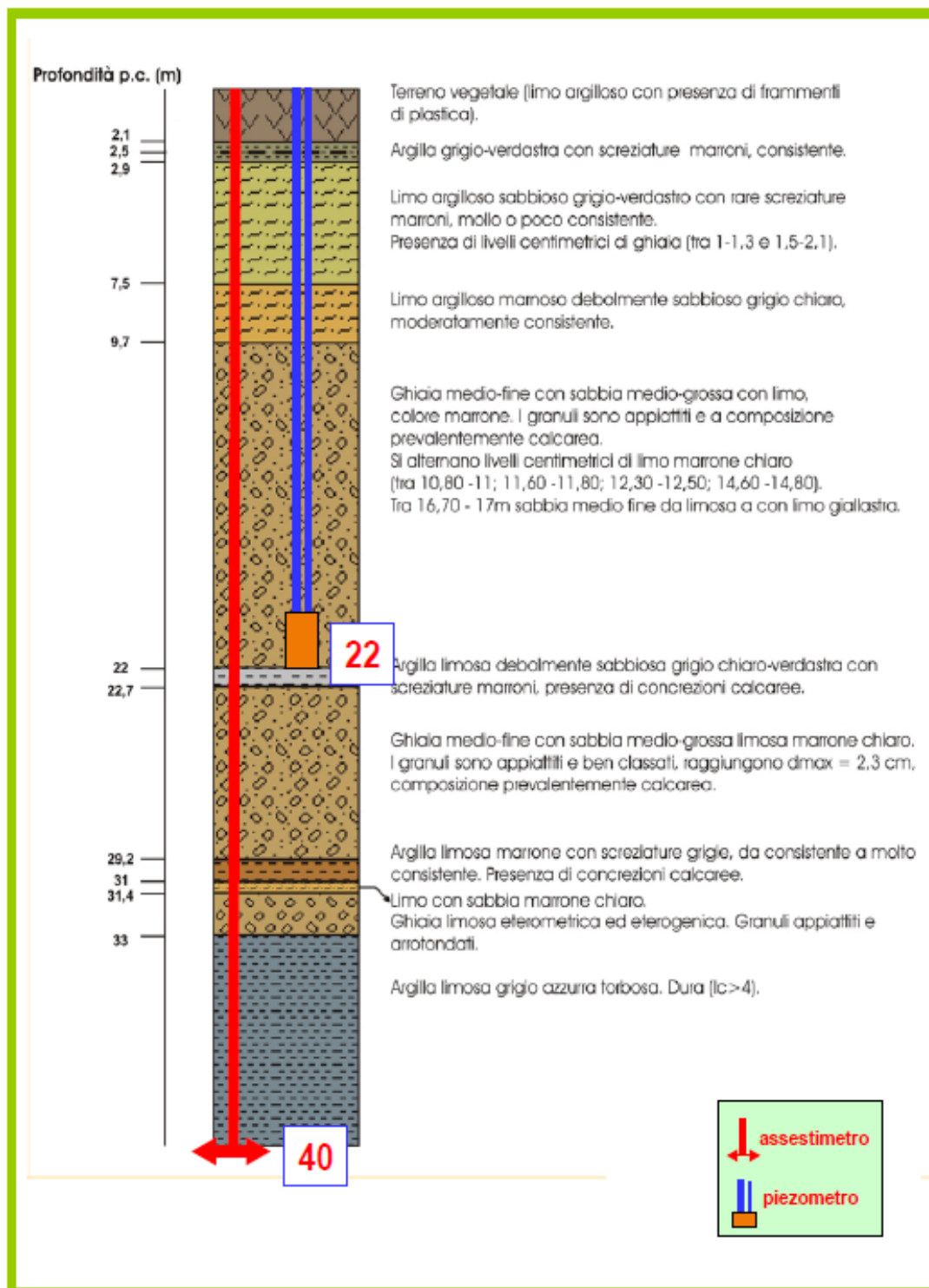


Figura 16B - Litologia dei terreni monitorati dalla stazione EPSU di Falconara

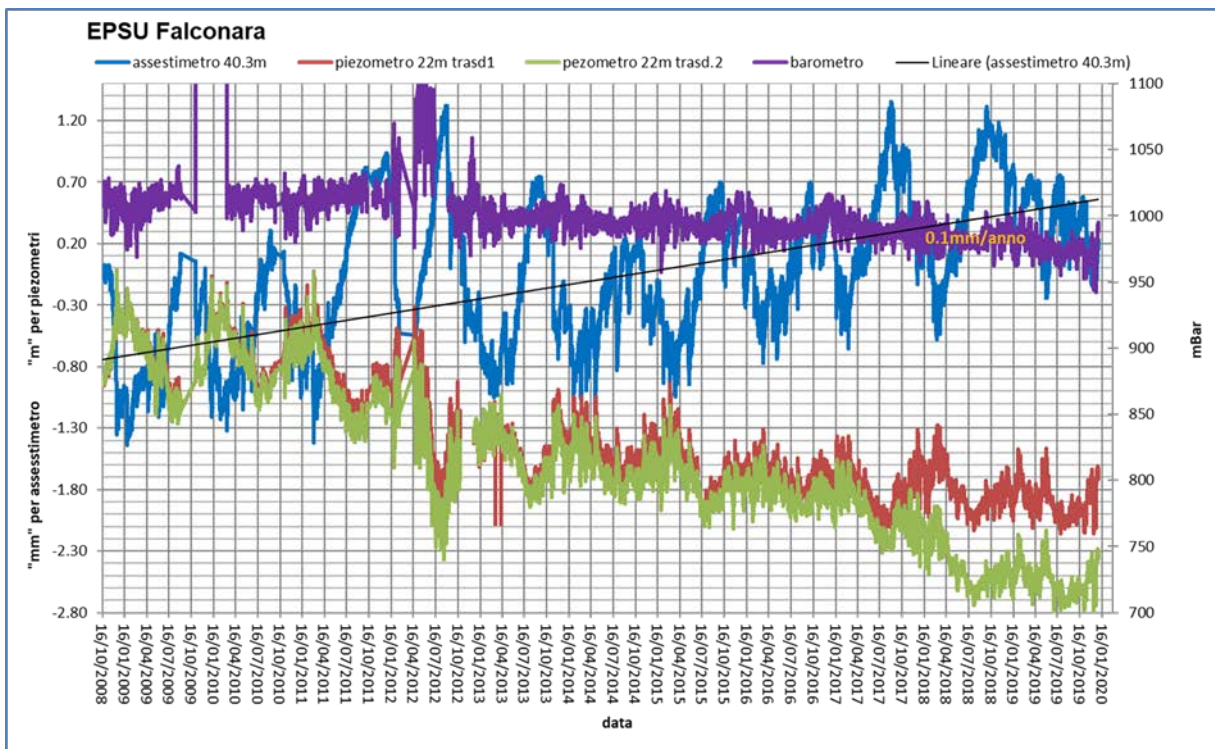


Figura 17B - Stazione EPSU di Falconara: misure piezometriche, assestimetriche e barometriche.

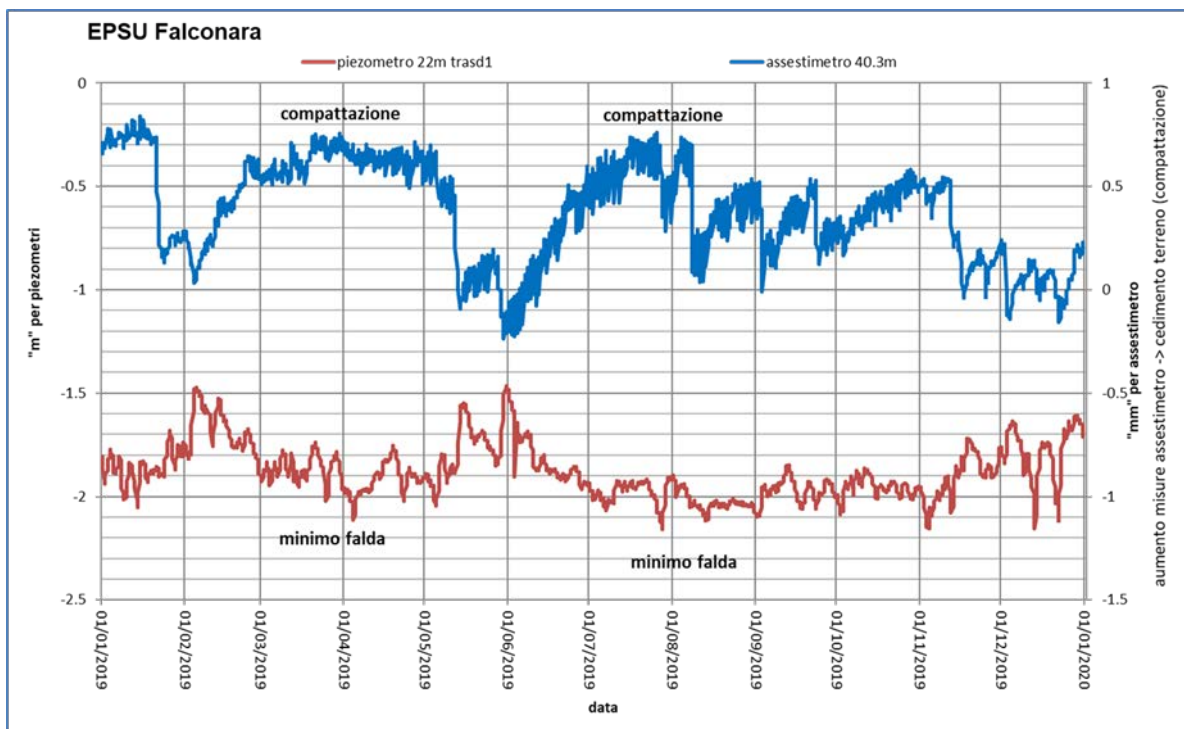


Figura 18B - Stazione EPSU di Falconara: misure piezometrico-assestimetriche, ultimo anno di dati

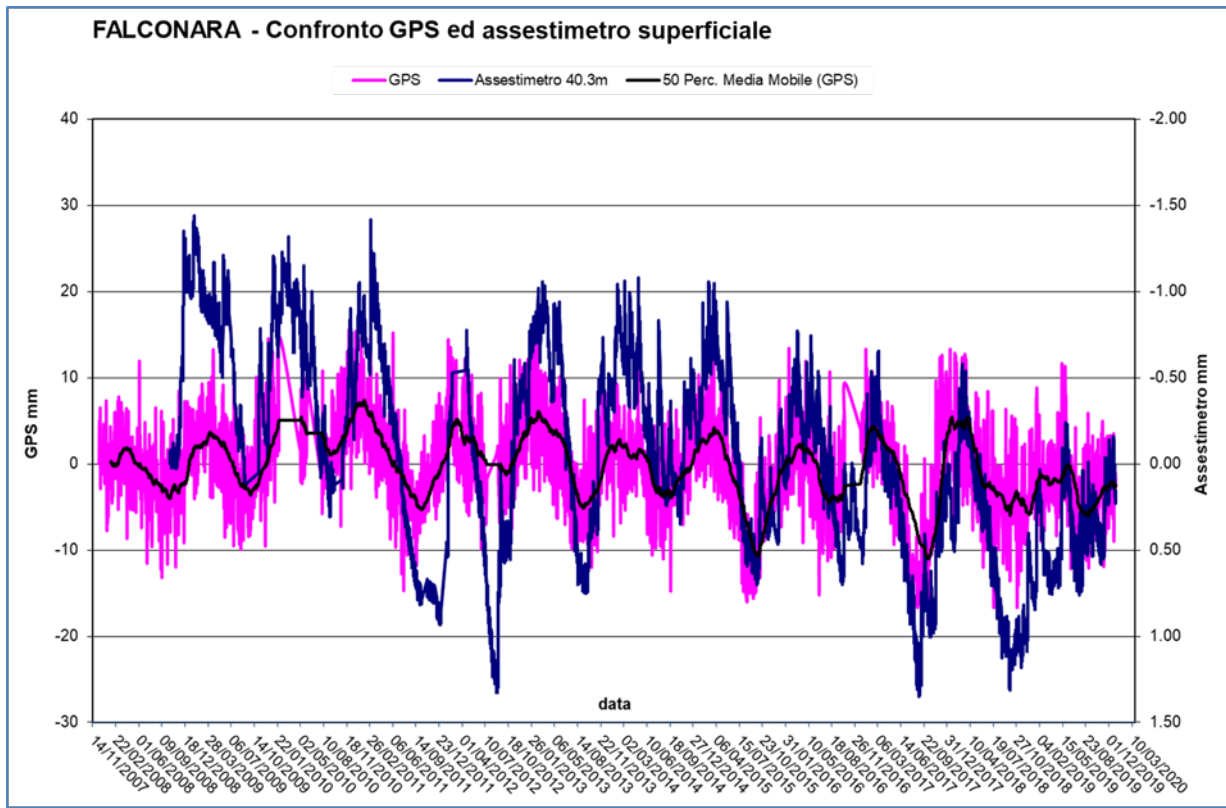


Figura 19B - Stazione EPSU di Falconara: confronto misure CGPS vs. misure piezometrico-assestimentriche

N.B.: nel grafico per meglio apprezzare le modulazioni della curva CGPS questa è stata filtrata con una media mobile su 50 campioni. Per comodità la curva assestimentrica è stata graficata con i valori in ordine inverso, in modo da renderla coerente con le modulazioni del CGPS (spostamenti delle curve verso l'alto indicano sollevamenti del terreno e viceversa).

Conclusioni

Dall'insieme dei dati sino ad ora raccolti nelle 3 stazioni *EPSU* si nota, in generale, una buona correlazione diretta tra l'andamento stagionale della piezometrica ed i cicli di compattazione ed espansione del terreno misurati dagli assestimetri.

Tale correlazione è più evidente nel caso di Falconara, dove il piezometro monitora le falde superficiali più sensibili a tutte le variazioni stagionali di piovosità.

Anche nel caso di Rubicone c'è un'ottima correlazione tra i cicli stagionali di compattazione/espansione del terreno monitorati dall'assestimetro e le corrispondenti variazioni di livello delle tre falde registrate dai piezometri. Le compattazioni massime (contrazioni del terreno), infatti, si hanno all'incirca a settembre/ottobre di ogni anno dopo circa 1 / 1.5 mesi dai minimi livelli di falda; le espansioni massime si verificano, invece, mediamente verso aprile/maggio di ogni anno e a loro volta sono in buona correlazione con i livelli piezometrici massimi delle stesse falde avvenuti nei mesi precedenti. L'assestimetro di questa stazione, essendo il più profondo di quelli installati nelle 3 *EPSU*, è anche quello che registra nel tempo un aumento progressivo della compattazione del terreno monitorato (spessore 320 m). Lo strumento a dicembre 2019, dopo 10.73 anni di funzionamento, misurava, infatti, una compattazione complessiva (rispetto allo zero iniziale) di 30.5 mm, che con un semplice calcolo equivale a una velocità media annua di compattazione pari a circa 2.8 mm/a. Tale valore resta più o meno uguale, circa 2.77 mm/a, se si elaborano i dati delle misure assestimetriche con una regressione lineare. Nel caso di Fano, il trend delle curve piezometrica e assestimetrica è maggiormente influenzato dalla litologia attraversata dai pozzi, litologia che rende meno evidente la correlazione tra andamento stagionale del livello della falda e misure assestimetriche. Infatti, mentre il piezometro monitora le variazioni di livello della falda in uno strato ghiaioso-sabbioso superficiale (max. profondità 6 m dal p.c.), l'assestimetro è ancorato all'interno di uno strato argilloso spesso circa 32 m e scarsamente comprimibile. Lo strumento, infatti, nei circa 11 e più anni (11.21) di funzionamento ha misurato una compattazione complessiva quasi nulla (0.86mm). A tale spessore di litologia argillosa si potrebbero imputare i ritardi nella compattazione espansione del terreno rispetto all'escursione della falda freatica monitorata.

La tabella che segue riporta, per ciascuna stazione, la compattazione complessiva del terreno

al 31/12/2019 e la relativa velocità media annua, valutata semplicemente come rapporto fra la misura assestimetrica a fine 2019 e gli anni complessivi di monitoraggio. In questo caso non si è fatta alcuna regressione lineare dei valori della serie storica dell'assestimetro. Questo procedimento potrebbe pertanto, dare risultati non perfettamente uguali, anche se molto simili, a quelli riportati nelle precedenti analisi dei dati assestimetrici. Si noti, altresì, che per le stazioni di Fano e Falconara le misure assestimetriche hanno valori molto piccoli, e che nel periodo d'osservazione non è emerso un trend ben definito di compattazione del terreno (valori piccolissimi). In questo caso le medie annuali non si possono considerare veramente significative.

Sito	Anni di osservazione	Assestimetro profondo		Assestimetro superficiale	
		Spostamento complessivo (mm)	Velocità (mm/a)	Spostamento complessivo (mm)	Velocità (mm/a)
Rubicone	10.73	30.5	2.84	n.i.	-
Fano	11.21	n.i.	-	0.86	n.v.
Falconara	11.21	n.i.	-	0.18	n.v.

n.i. = non installato

n.v. = non valutabile